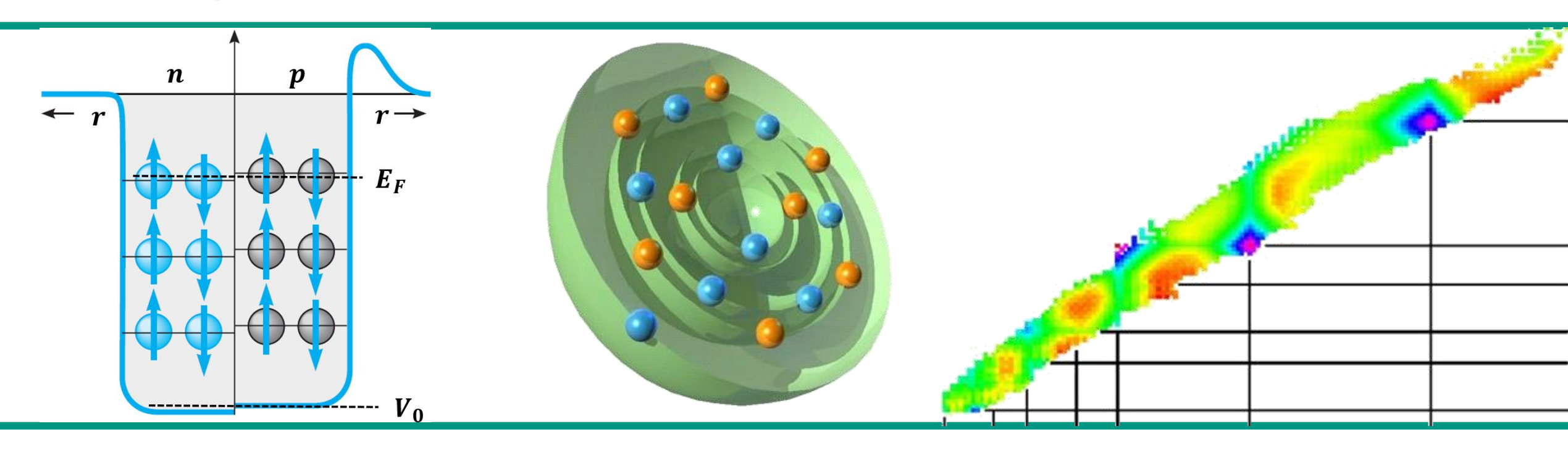




Moderne Experimentalphysik *I* – Atome und Kerne

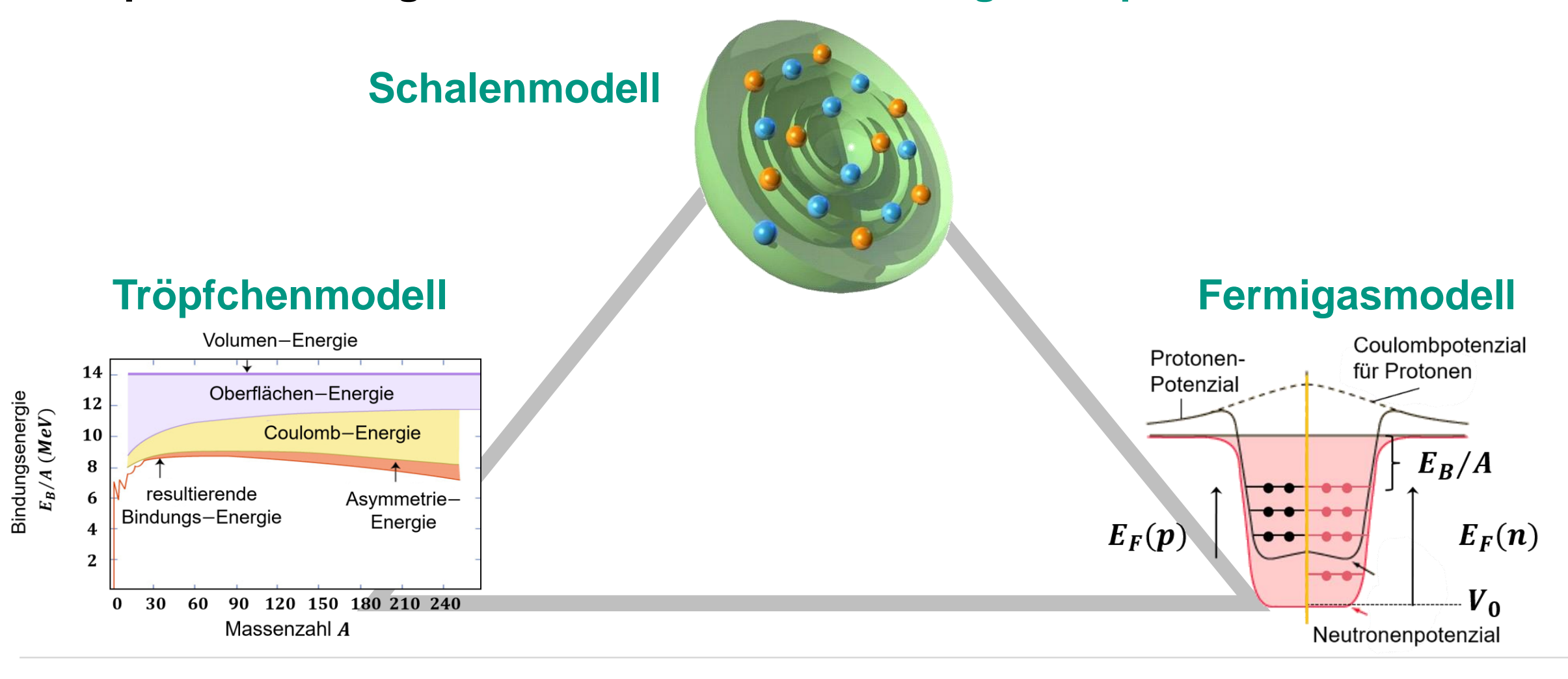
Vorlesung 20 4.7.2024



RECAP: Kernmodelle



phänomenologische Kernmodelle: 3 wichtige Beispiele

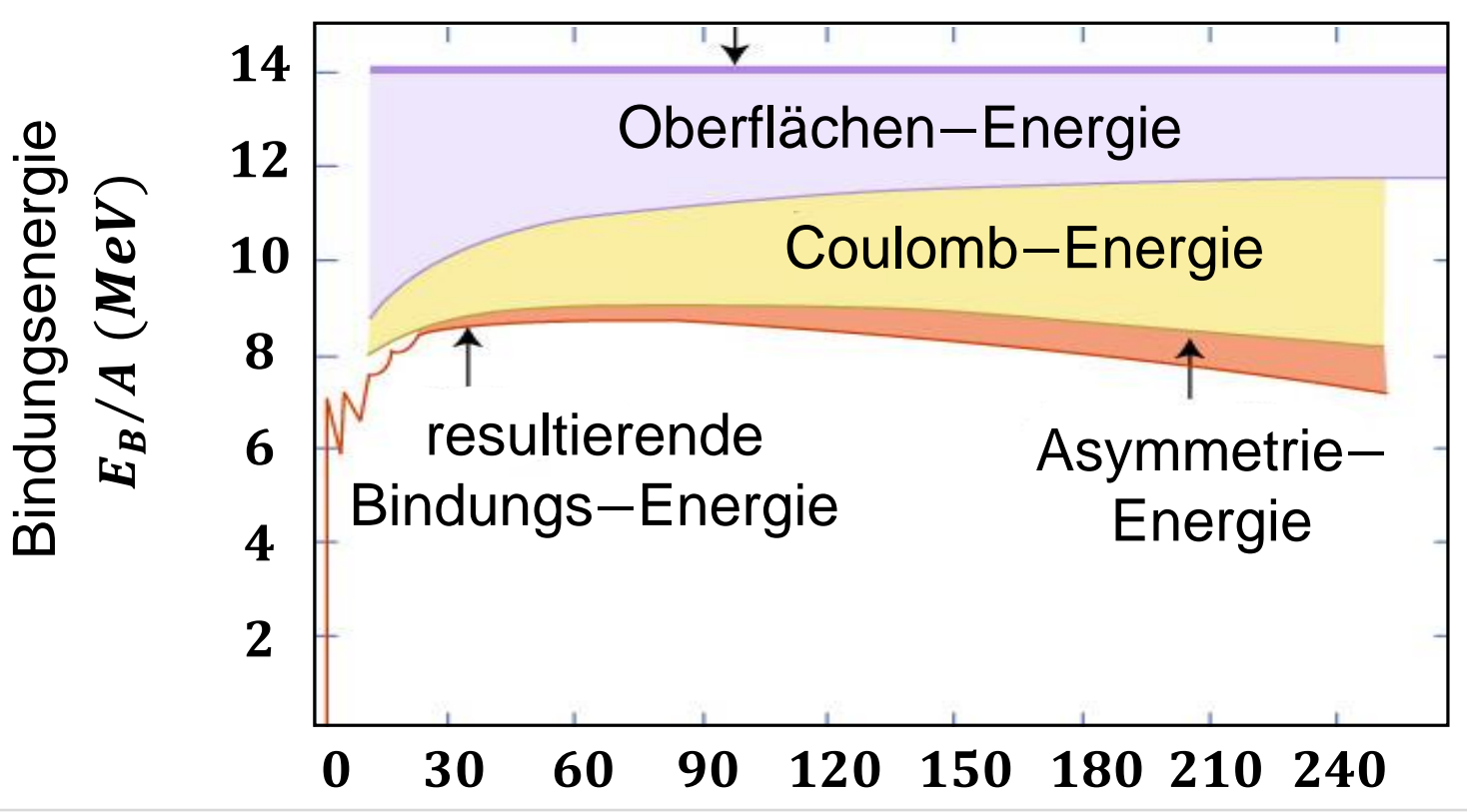


RECAP: Tröpfchenmodell

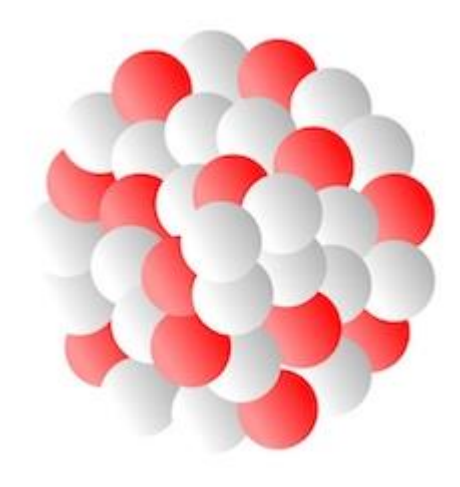


Bethe–Weizsäcker sche Massenformel: Zusammenfassung aller Terme

$$E_B(Z,A) = a_V \cdot A - a_S \cdot A^{2/3} - a_C \cdot Z^2 \cdot A^{-1/3} - a_A \cdot (N-Z)^2 / A \pm \delta(Z,A)$$



Volumen-Energie



Massenzahl A

Lebensdauern au

Instabile Nuklide

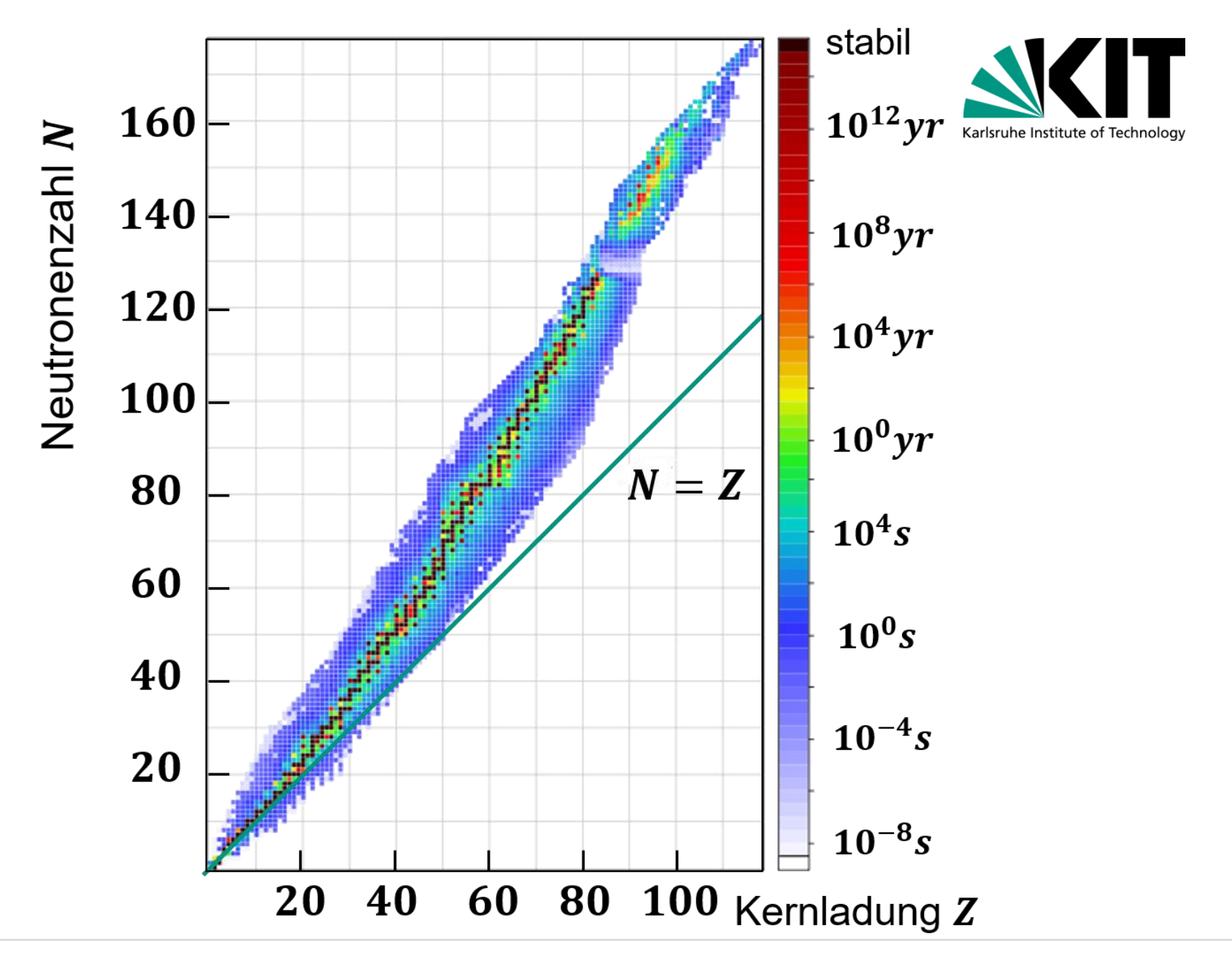
außerhalb des Stabilitätstals:

 β – Zerfälle

 α – Zerfälle oder Spaltung bzw.

Emission von p, n

 τ variiert um mehr als 30 Größenordnungen!

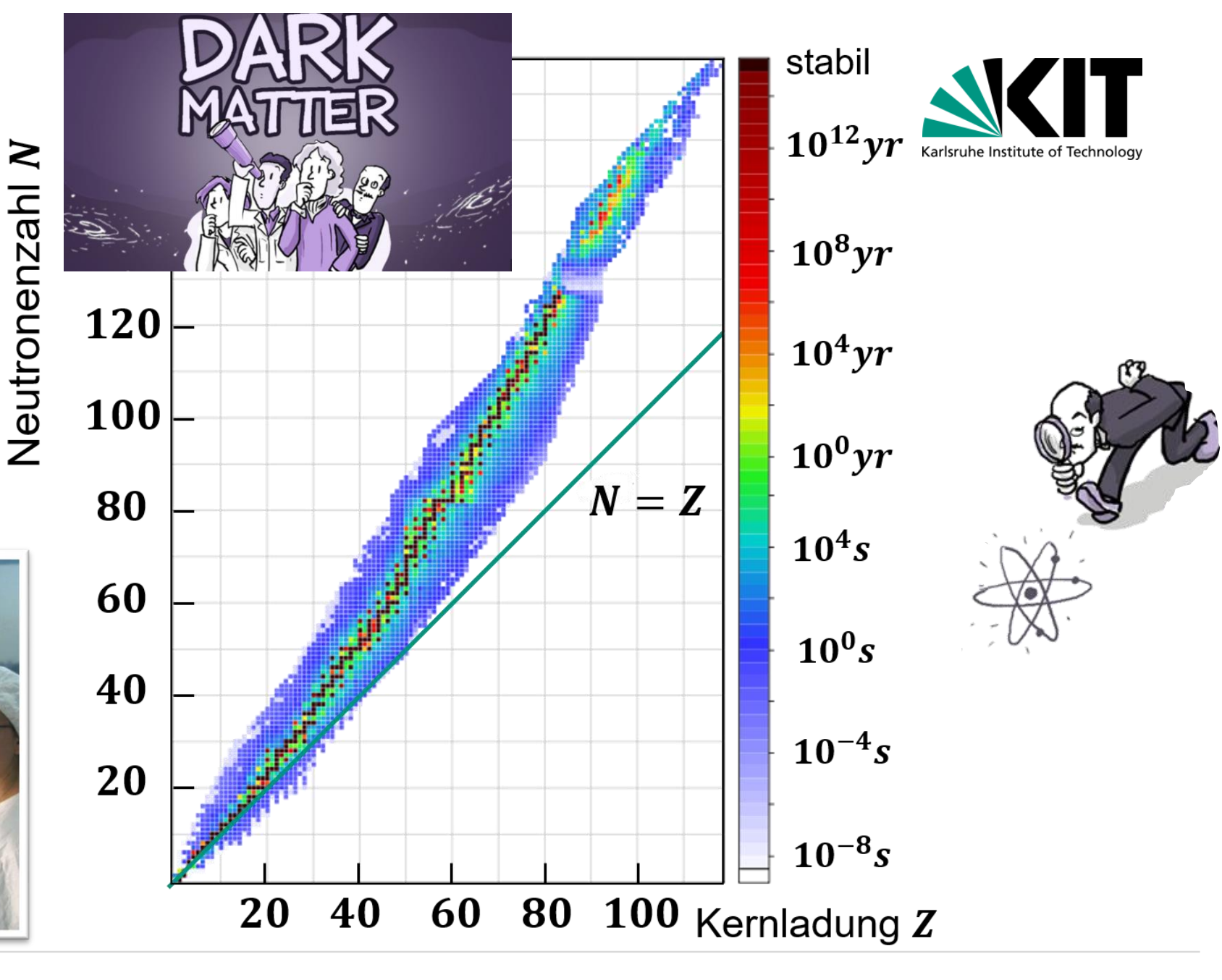


Lebensdauern au

Instabile Nuklide: Untergrund!

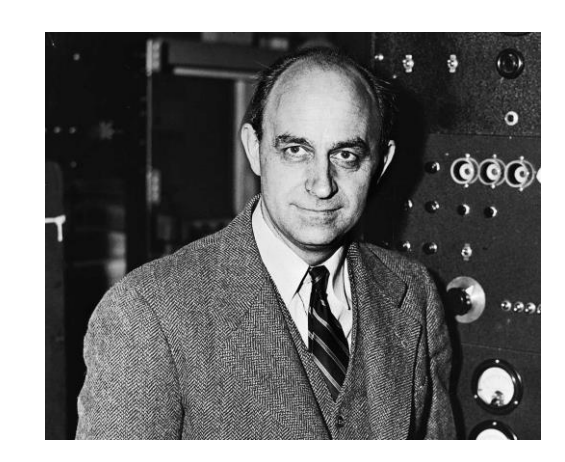




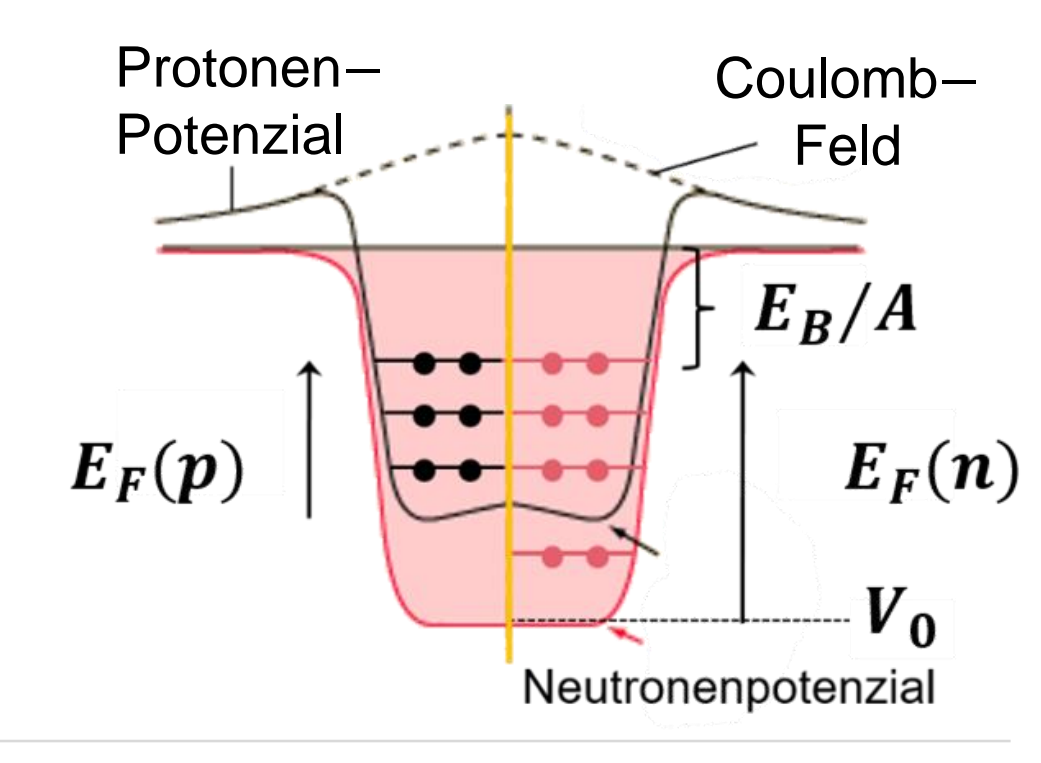




- Grundlegende Eigenschaften des Kernmodells
 - Kern-Eigenschaften können auch beschrieben werden durch Modell, in dem sich Nukleonen in einem **mittleren Potenzial frei bewegen**
 - zwei unabhängige Fermionen Systeme:
 Neutronen, Protonen



Enrico
Fermi

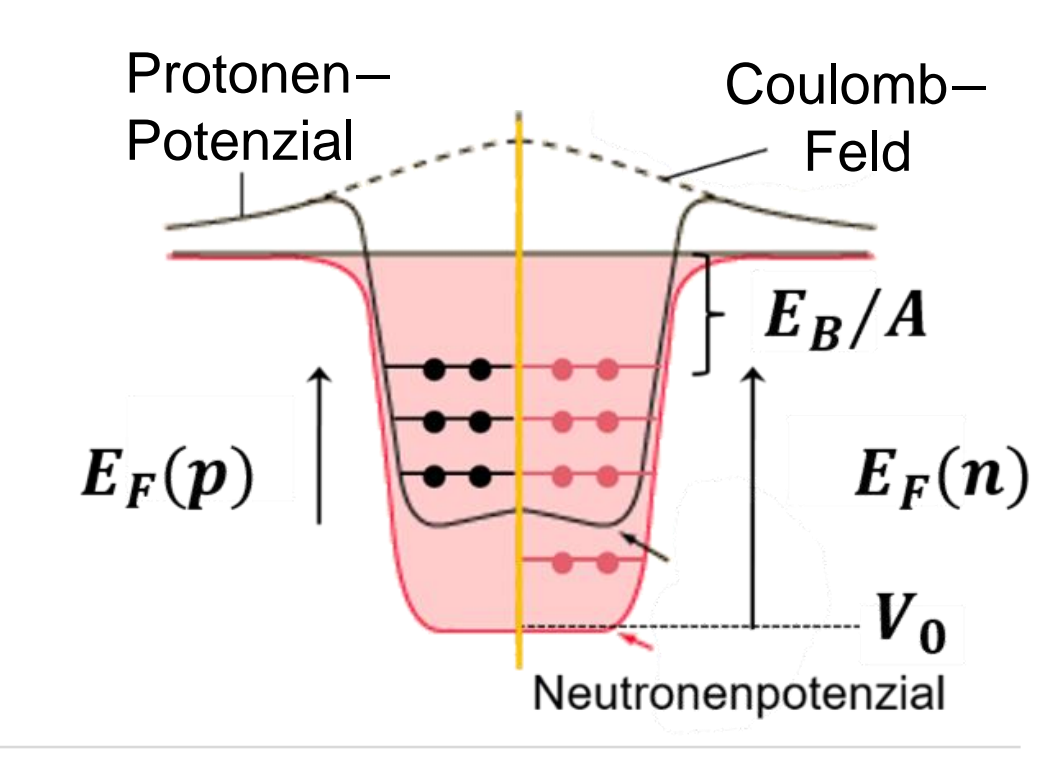




- Grundlegende Eigenschaften des Kernmodells
 - Definition eines **mittleren Kernpotenzials** aus der **Überlagerung** der einzelnen kurzreichweitigen NukleonNukleon-Wechselwirkungen
 (Unterschiede im Potenzial für **p**, **n**)

 Protonen-

 Nukleonen bewegen sich unter Beachtung des Pauli-Prinzips (da Spin S = ½ Teilchen) im Kern wechselwirkungsfrei (keine freien Zustände)



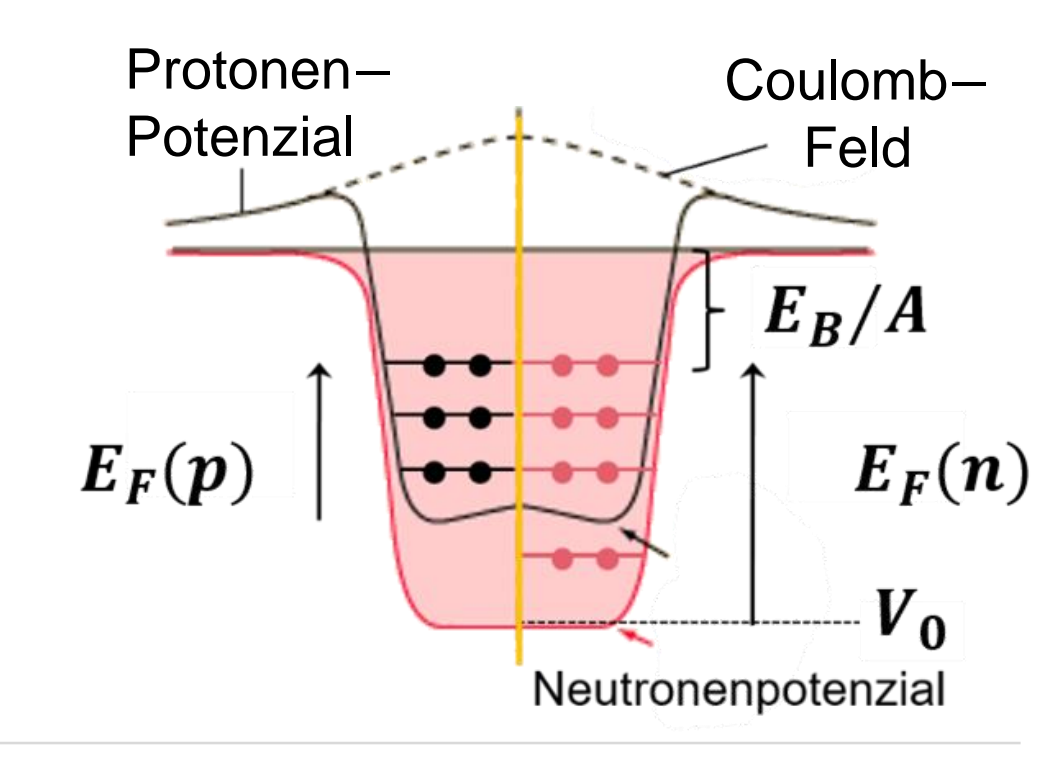


- Grundlegende Eigenschaften des Kernmodells
 - Protonen *p* und Neutronen *n* besitzen verschiedene Potenziale (Coulombkraft)
 - Neutronen n: reines Kastenpotenzial

$$V(r) = \begin{cases} -V_0 & 0 \le r \le R \\ 0 & r > R \end{cases}$$

- Protonen *p*: Kastenpotenzial+ Coulombkraft

 \Rightarrow geringere Potenzialtiefe V_0

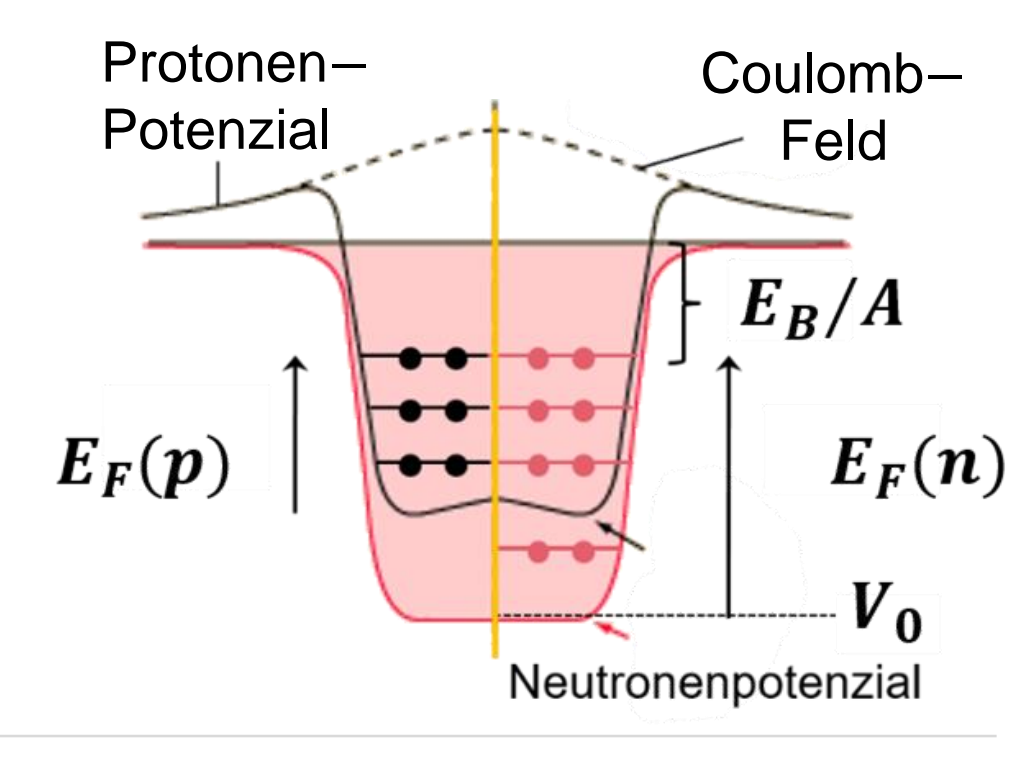




Grundzustand und Quantenstatistik

- Grundzustand: Protonen p und Neutronen n sind wechselwirkungsfrei
- alle Nukleon—Zustände bis zur maximalen Energie E_F (Fermi—Energie) sind besetzt: keine Stroßprozesse möglich bei $T=\mathbf{0}$

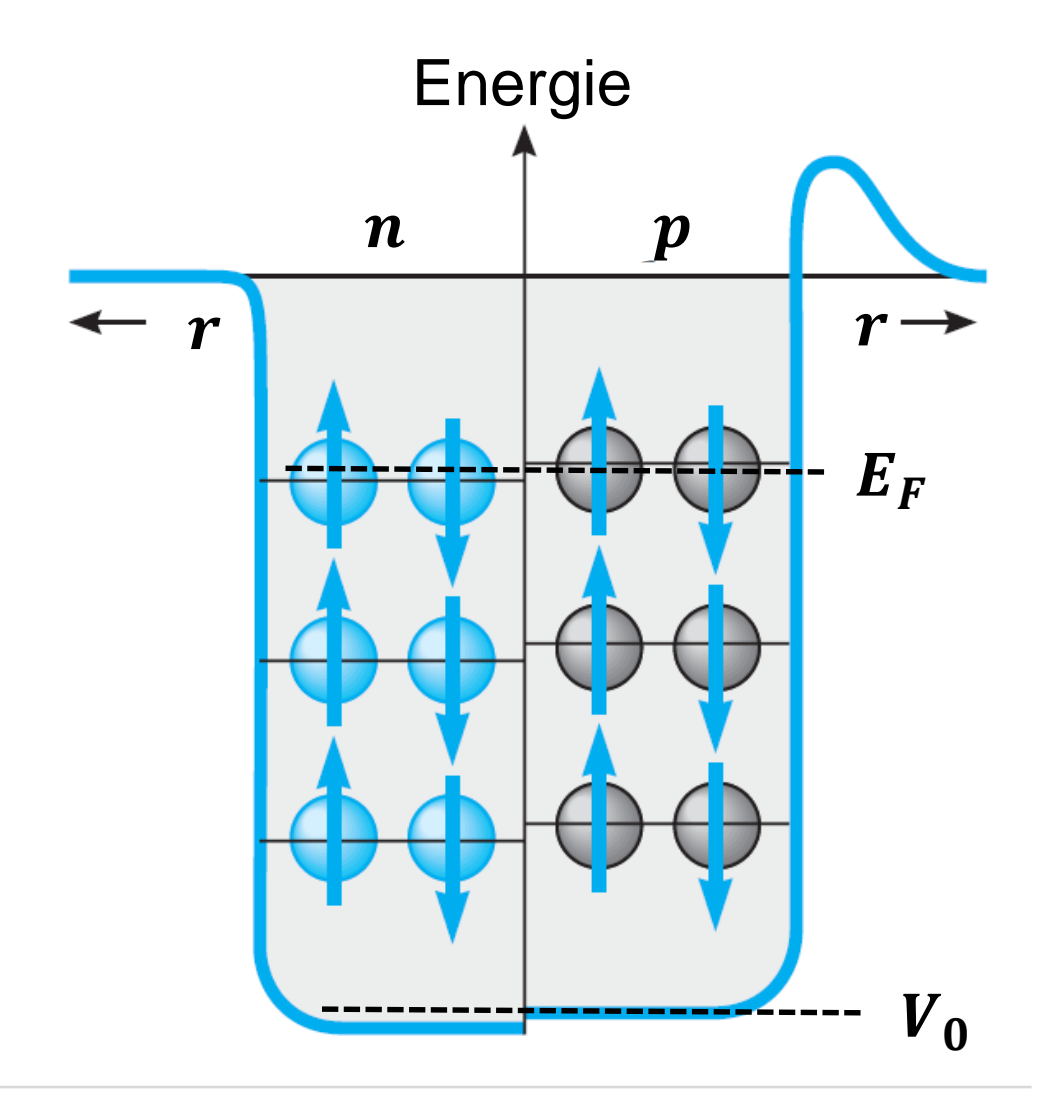




Fermigas-Modell: ein Einteilchenmodell



- Grundzustand und Quantenstatistik
 - Protonen p und Neutronen n bilden ein wechselwirkungsfreies Fermigas,
 d.h. ein statistisches Ensemble
 - Pauli-Prinzip:
 jeder p oder n Zustand besetzt
 mit 2 Teilchen (Spin む♥)
 - quasi-identische Fermi-Energie E_F für p und n (ansonsten Zerfälle $n \to p$)

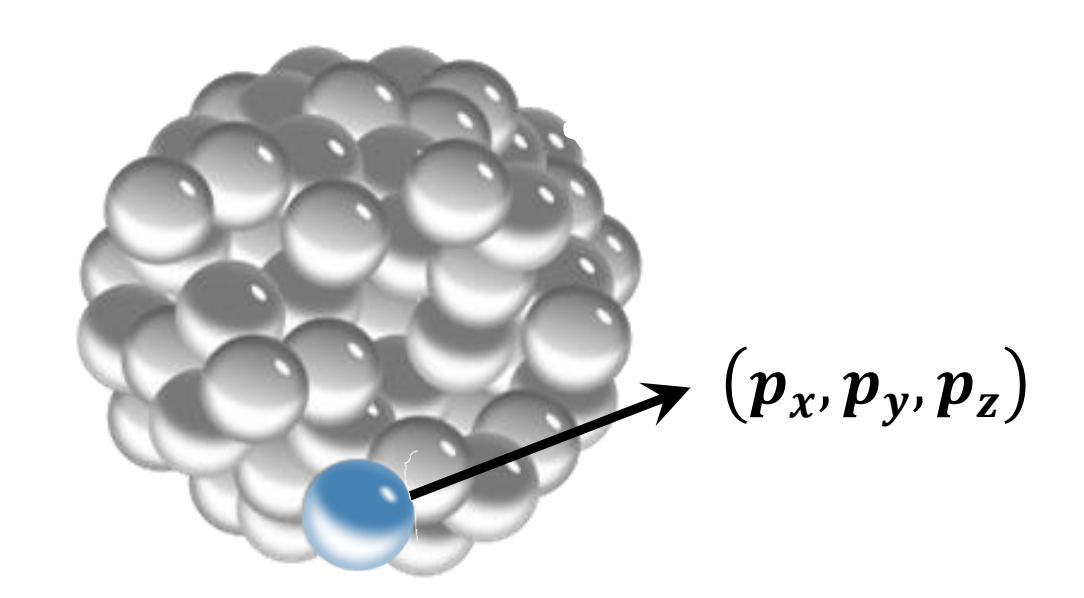


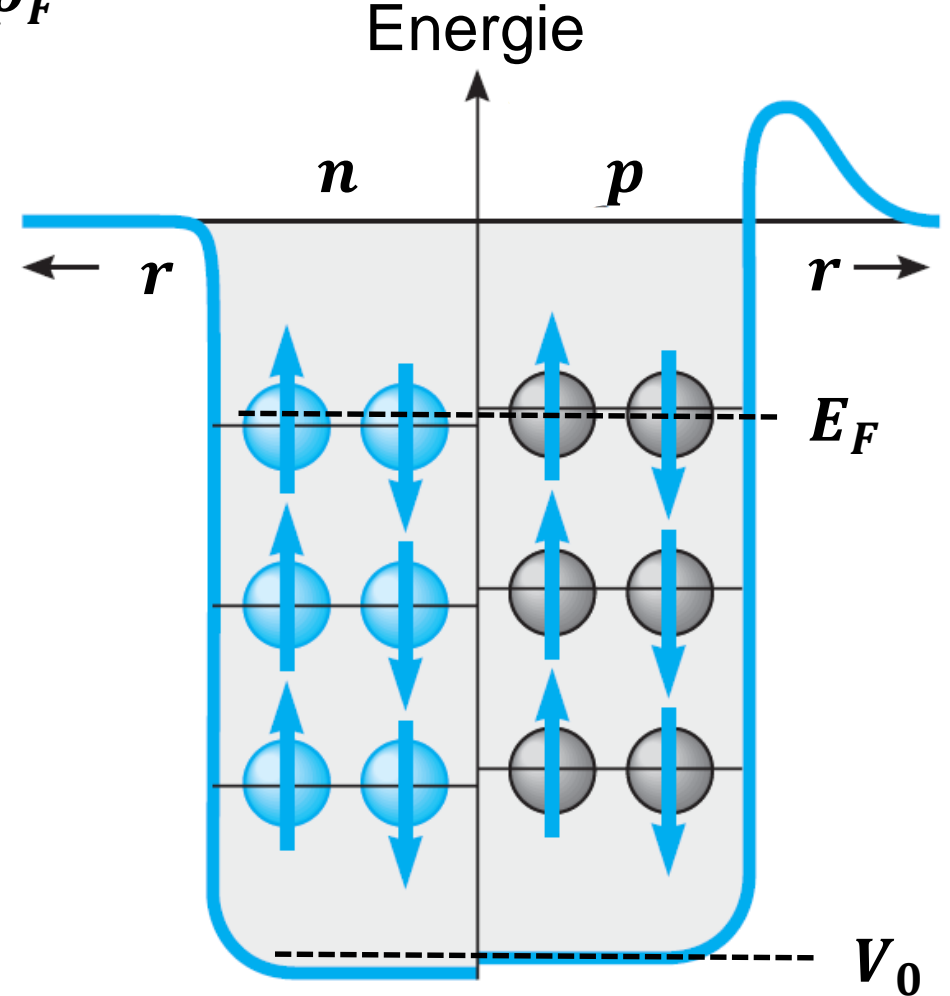
Fermigas-Modell: ein Einteilchenmodell



Nukleonen bewegen sich mit Fermi-Impuls p_F

 Protonen p und Neutronen n bewegen sich mit nicht vernachlässigbaren Impulsen (Impulsspektrum)

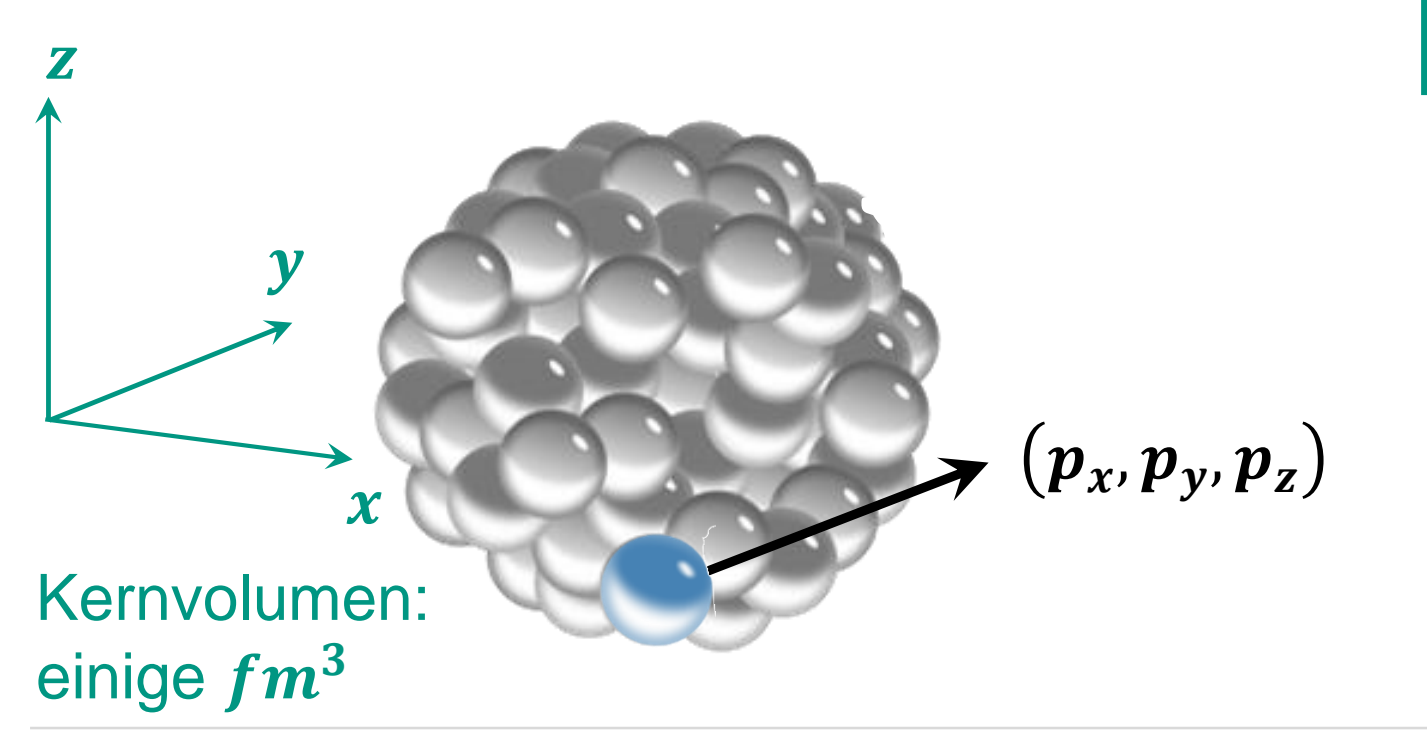






- Nukleonen bewegen sich mit Fermi-Impuls p_F
 - Impulse der Protonen p und Neutronen n resultieren aus der fundamentalen

Heisenberg´schen Unschärferelation



$$dx \cdot dp_x \ge \hbar/2$$

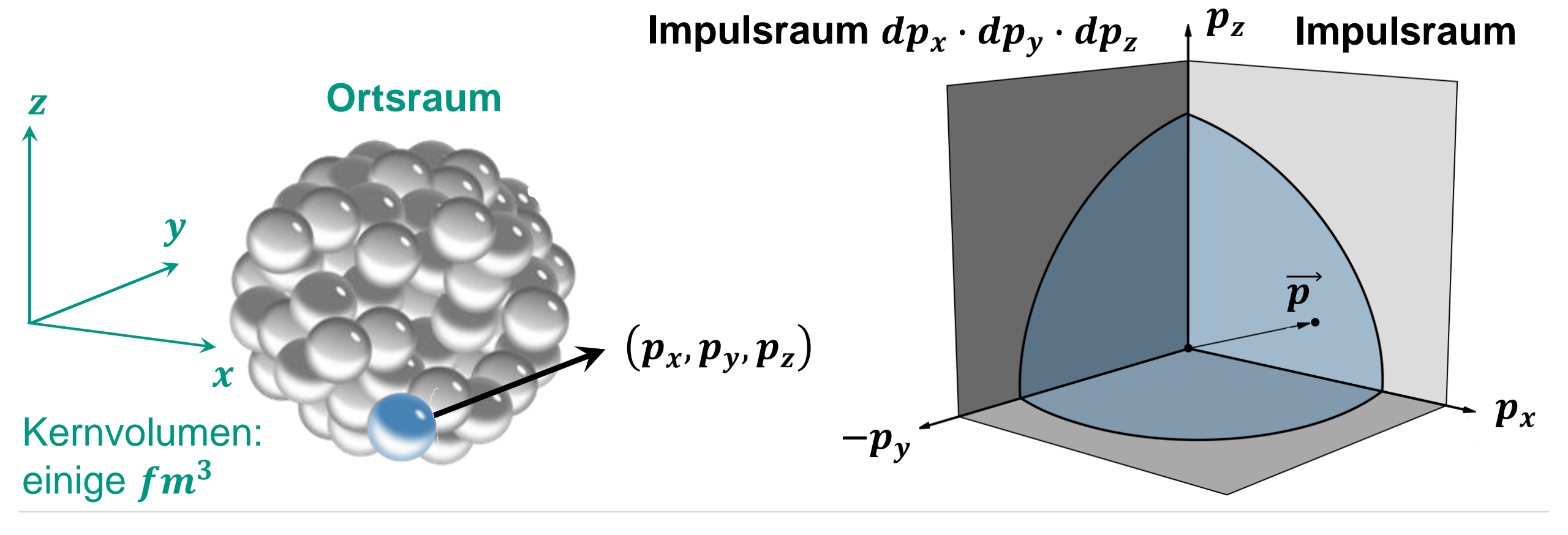
dx: Kerndimension (einige fm)

 dp_x : Fermi-Impuls $\sim 250~MeV/c$



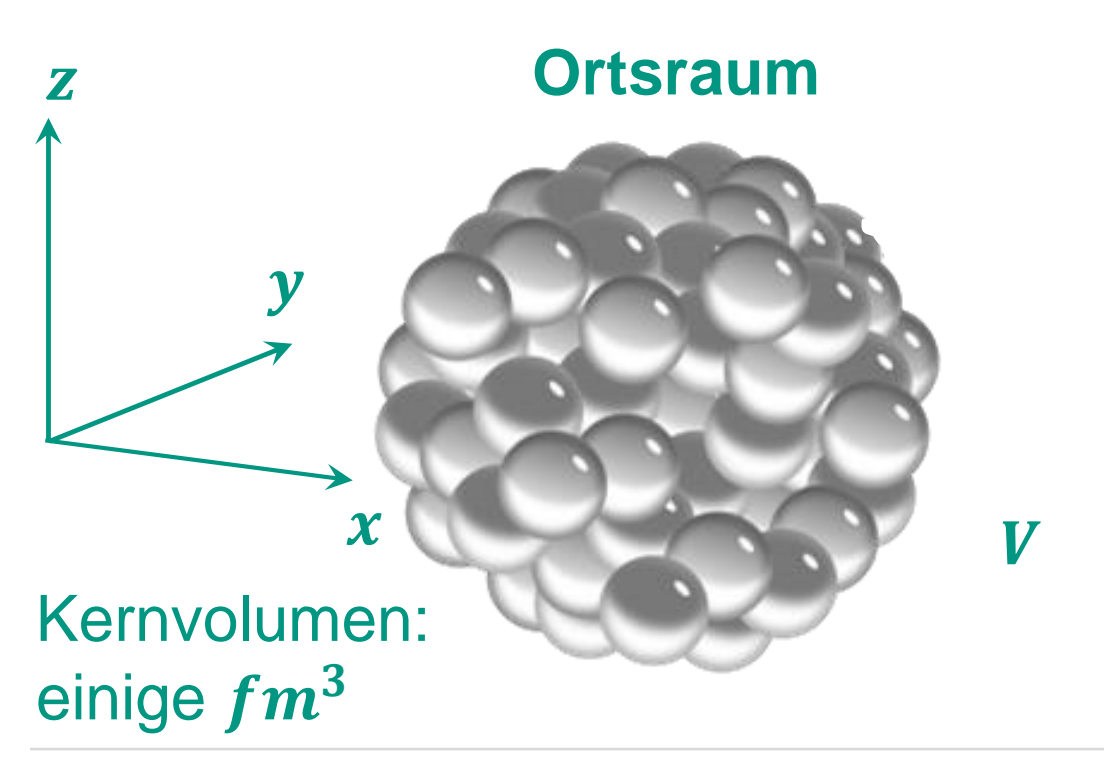


- Nukleonen bewegen sich im 6 dimensionalen Phasenraum
 - Protonen p & Neutronen n: Ortsraum $dx \cdot dy \cdot dz$

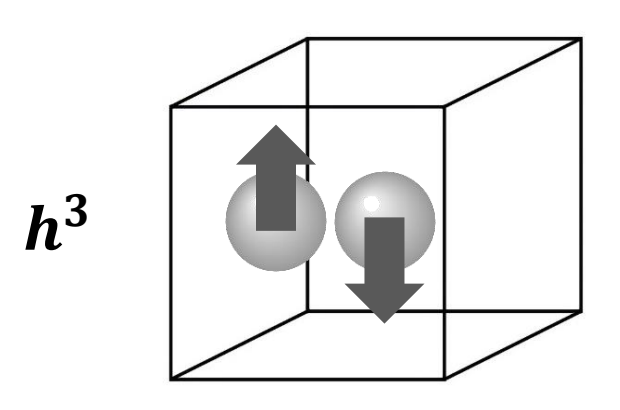




- Nukleonenzustände k: Betrachtung im Phasenraum
- wir möchten die $Gesamtzahl\ k$ möglicher Nukleonen-Zustände im Kern hoch bis zur Fermi-Energie E_F bestimmen!



Pauli: jede Phasenraumzelle (~ h³)
 ist mit 2 Zuständen (û ♣) besetzbar



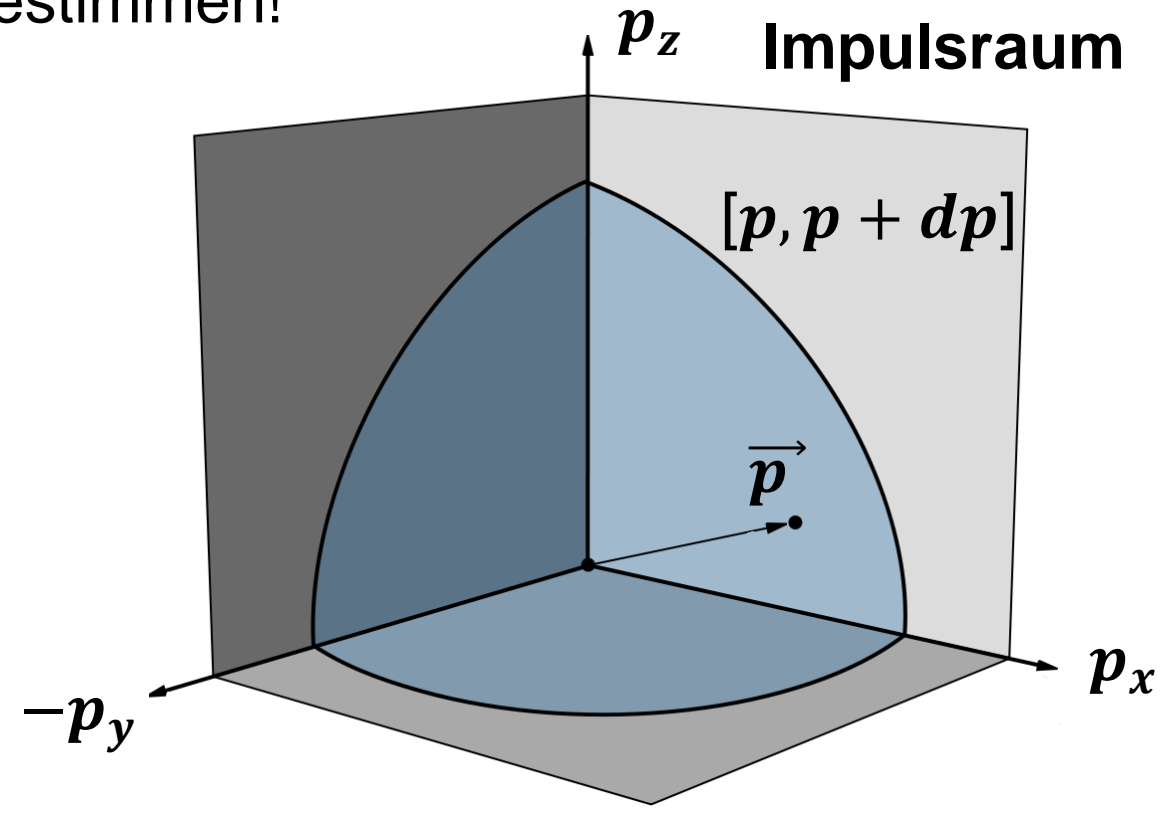


■ Nukleonenzustände k: Betrachtung im Phasenraum

- wir möchten die $Gesamtzahl\ k$ möglicher Nukleonen-Zustände im Kern hoch bis zur Fermi-Energie E_F bestimmen!

- im **Impulsraum** $dp_x \cdot dp_y \cdot dp_z$ betrachten wir zunächst das Impuls-Intervall [p, p + dp]

- Kugel mit Oberfläche $4\pi \cdot p^2$ und Kugelschalendicke dp



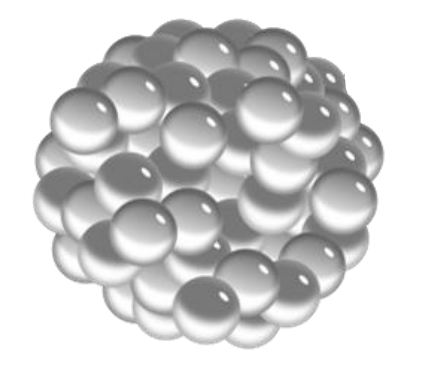


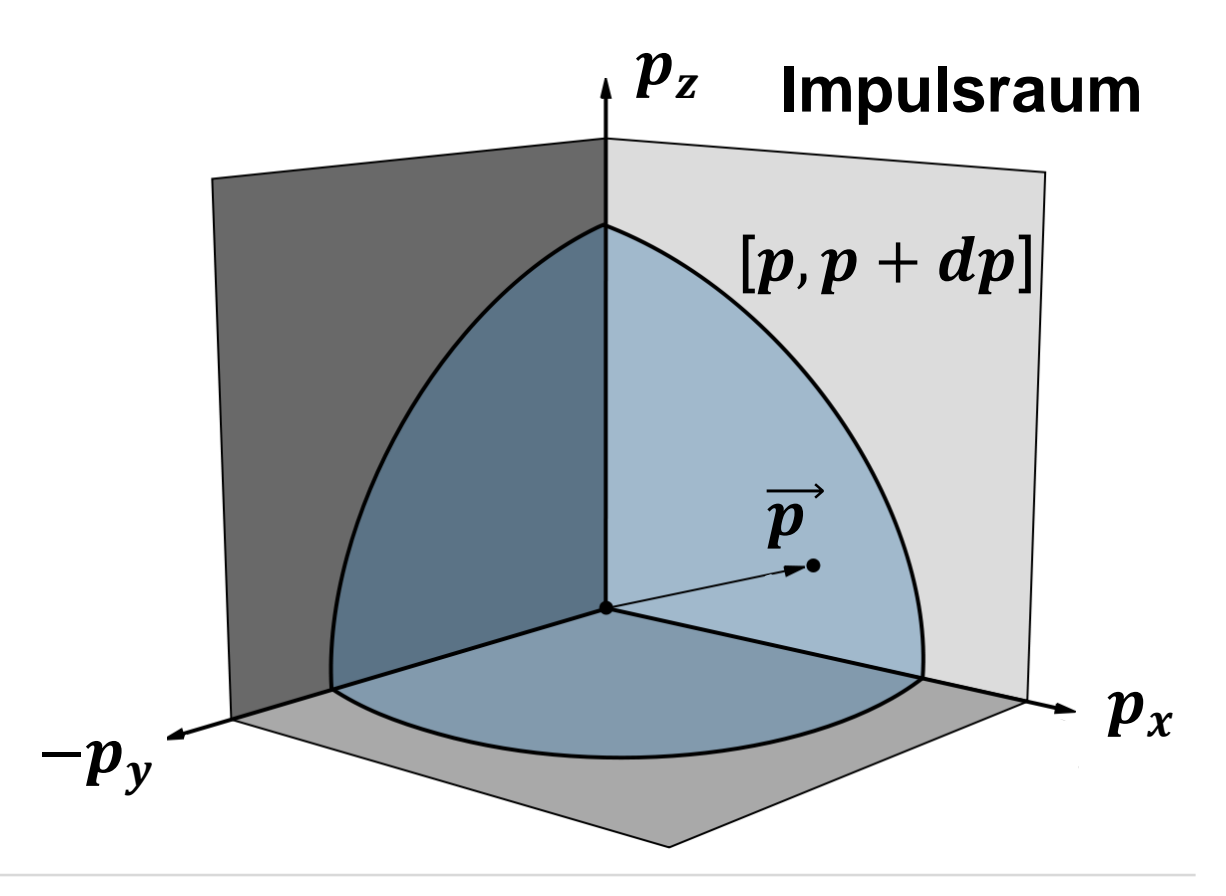
- lacktriangle Gesamtzahl der Nukleonenzustände: integrieren hoch bis Fermi-Impuls p_F
- Multiplikation von Ortsraum und Impulsraum

Nukleonspinfaktor

$$k = \frac{2}{(2\pi \cdot \hbar)^3} \cdot V \cdot 4 \pi \cdot \int_0^{p_F} p^2 dp$$

$$k = 2 \cdot \frac{V \cdot p_F^3}{6 \cdot \pi^2 \cdot \hbar^3}$$







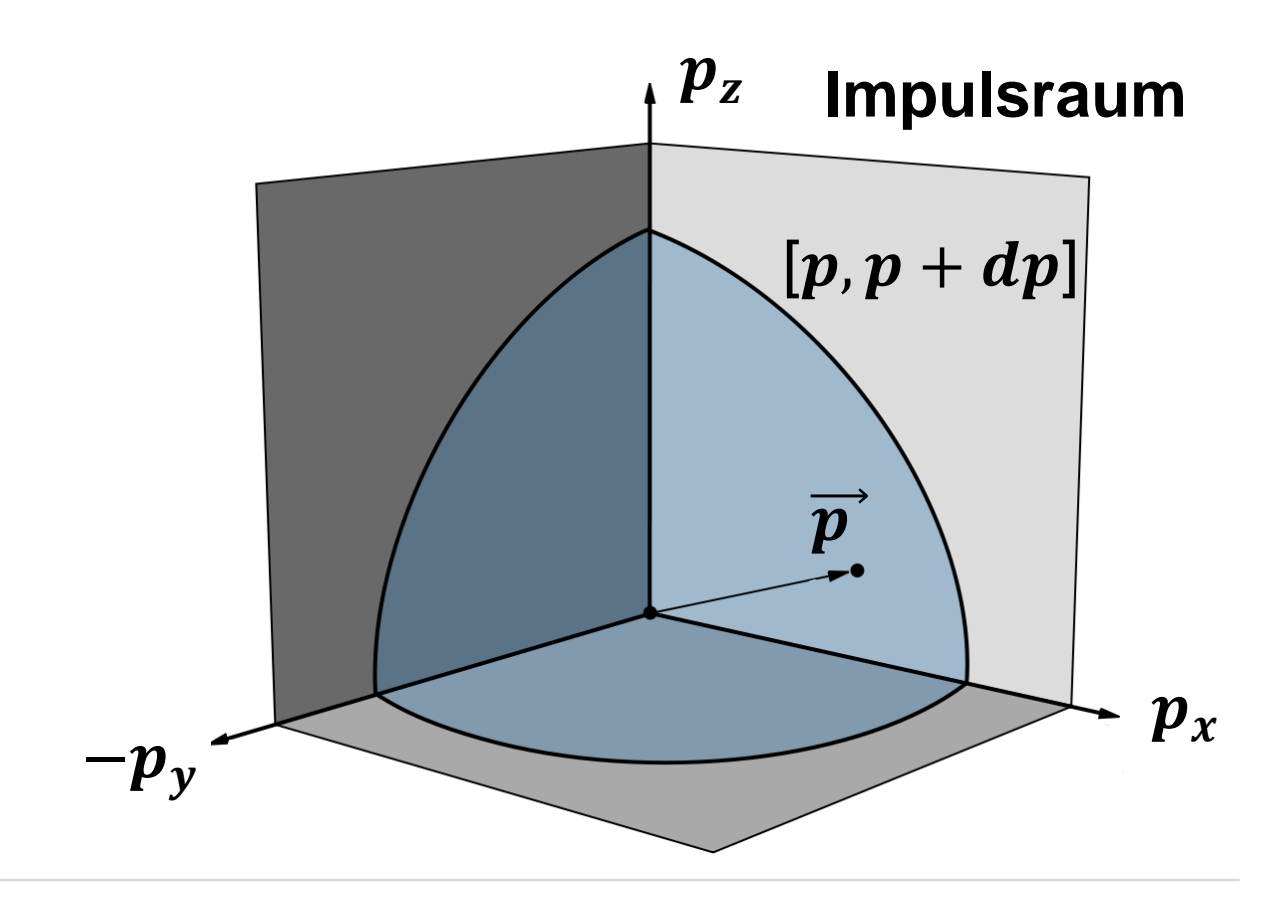
- Nukleonenzustände hoch bis zum Fermi-Impuls p_F
- wir integrieren separat für $m{p}$ und $m{n}$

Anzahl N an Neutronen:

$$N = \frac{V \cdot p_F^3(n)}{3 \cdot \pi^2 \cdot \hbar^3}$$

Anzahl Z an Protronen:

$$Z = \frac{V \cdot p_F^3(p)}{3 \cdot \pi^2 \cdot \hbar^3}$$



Fermigas-Modell: Bestimmung von p_F



Abschätzung des Fermi-Impulses p_F allein aus V bzw. aus $R_0 = 1,21 \, fm$

- für Kerne mit $N = Z = \frac{A}{2}$

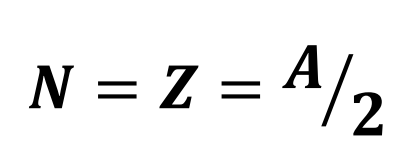
$$N = rac{V \cdot p_F^3(n)}{3 \cdot \pi^2 \cdot \hbar^3}$$
 $Z = rac{V \cdot p_F^3(p)}{3 \cdot \pi^2 \cdot \hbar^3}$

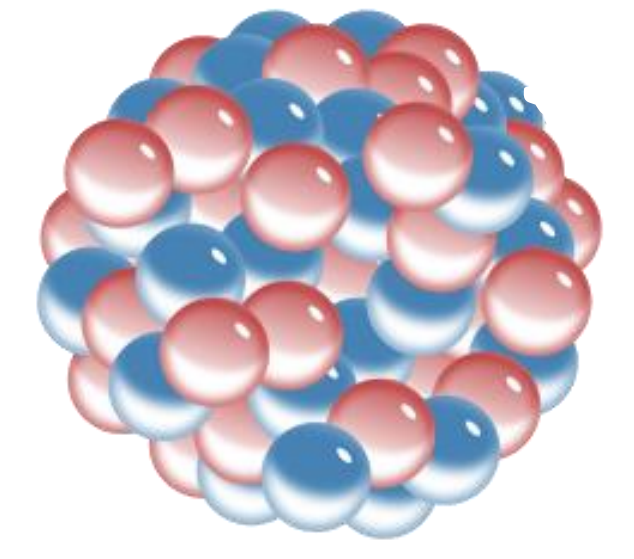
ergibt sich für p_F

$$p_F = \left(\frac{9\pi}{8}\right)^{1/3} \cdot \frac{\hbar}{1,21\,fm}$$

$$p_F \approx 250 \, MeV/c$$

Radius $R = 1,21 fm \cdot A^{1/3}$





Kernvolumen V:

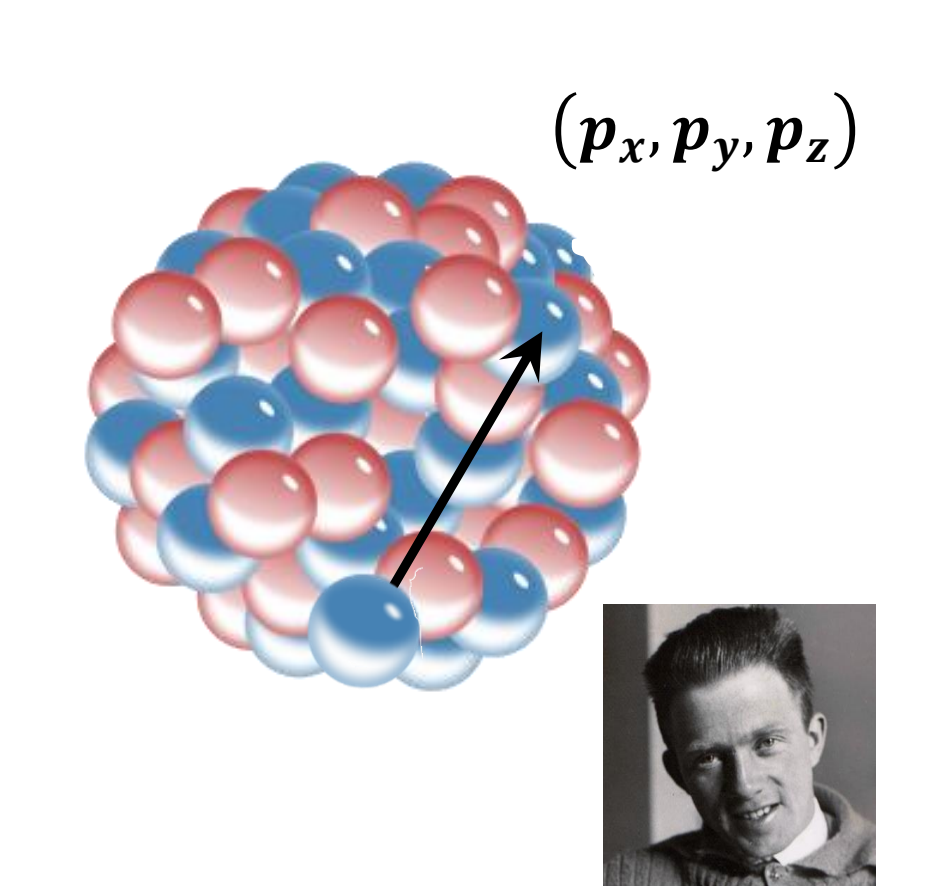
$$V = \frac{4}{3} \cdot \pi \cdot (1, 21 \, fm)^3 \cdot A$$

Fermigas-Modell: Bestimmung von p_F



- Abschätzung des Fermi-Impulses p_F allein aus V bzw. aus $R_0 = 1,21 \, fm$
 - Nukleonen bewegen sich **stossfrei** mit nicht vernachlässigbarem Fermi-Impuls p_F im Kern
 - Fermi-Impuls p_F im Kern ist rein quantenmechanisch bedingt und kann aus Kenntnis von Radius R und der Nukleonenzahl A abgeschätzt werden

 $p_F \approx 250 \, MeV/c$



Fermigas-Modell: Bestimmung von E_F



■ Abschätzung des Fermi−Energie *E_F*

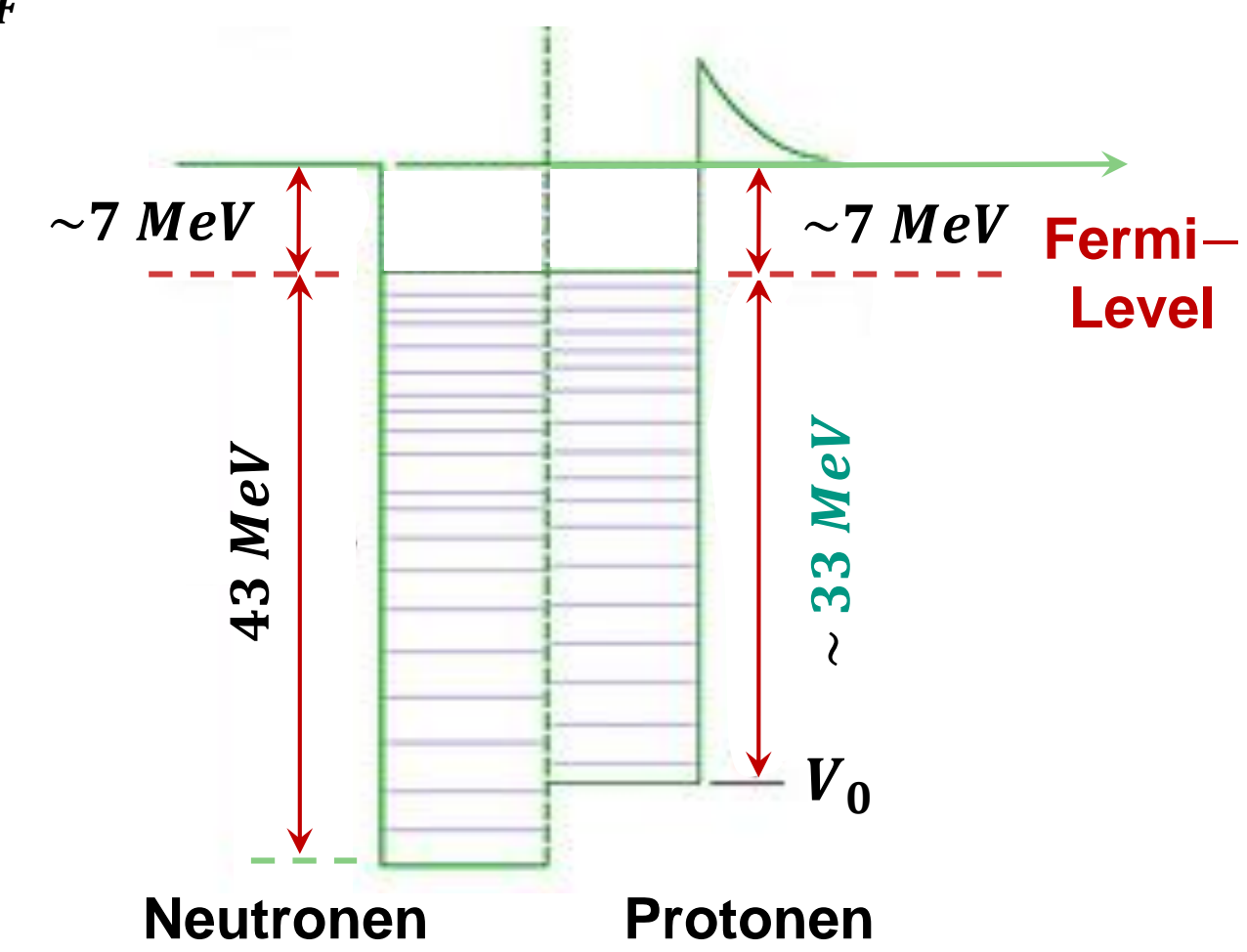
nicht—relativistische Energie— Impuls Relation ergibt:

$$E_F pprox rac{p_F^2}{2 \cdot M_{Nukl.}} = 33 \, MeV$$

- Tiefe des Kernpotenzials (p) $V_0 > E_F$

$$V_0 = E_F + E_B/A$$

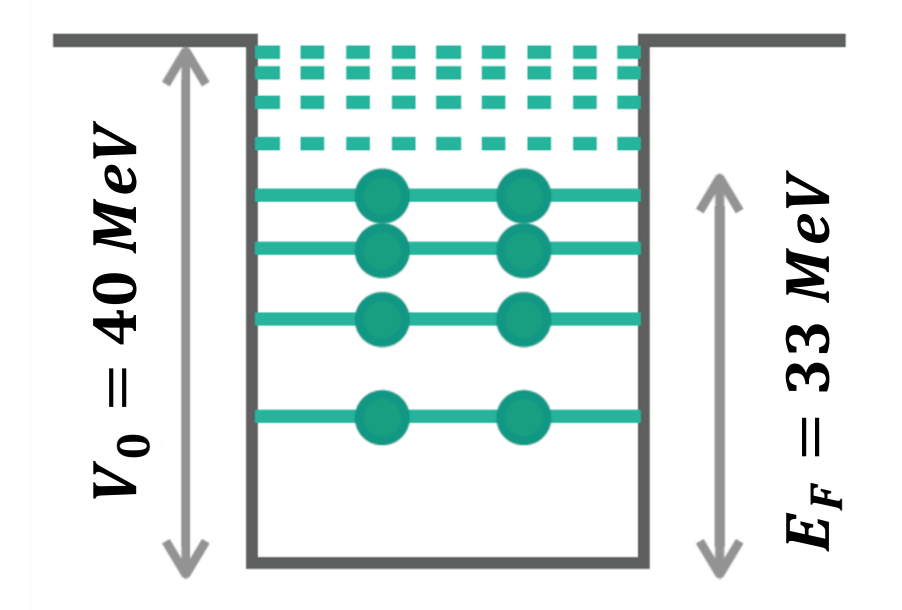
$$= 33 MeV + 7MeV = 40 MeV$$

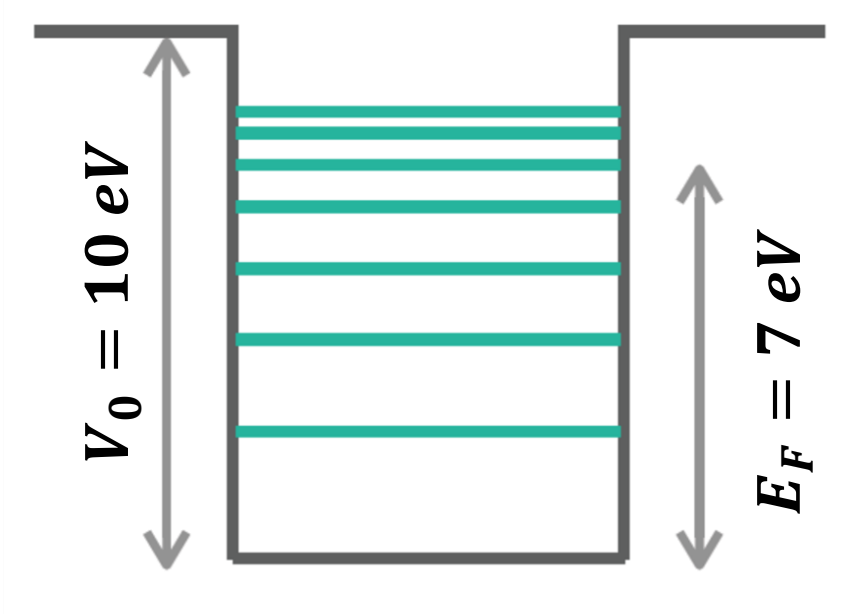


Fermigas-Modelle: Kerne vs. Festkörper



■ Analogie der Modelle: freies Nukleonengas & freies Elektronengas (z.B. Cu)





Fermi-Energie: $E_F = 33 MeV$

Austrittsarbeit: W ~ 7 MeV

Potenzialtiefe: $V_0 = 40 MeV$

Fermi-Energie: $E_F = 7 eV$

Austrittsarbeit: $W \sim 3 \dots 4 eV$

Potenzialtiefe: $V_0 = 10 eV$

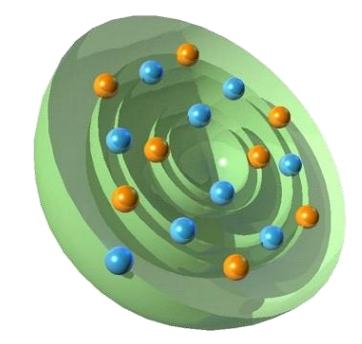
RECAP: Tröpfchenmodell

Empirisches Modell und Daten

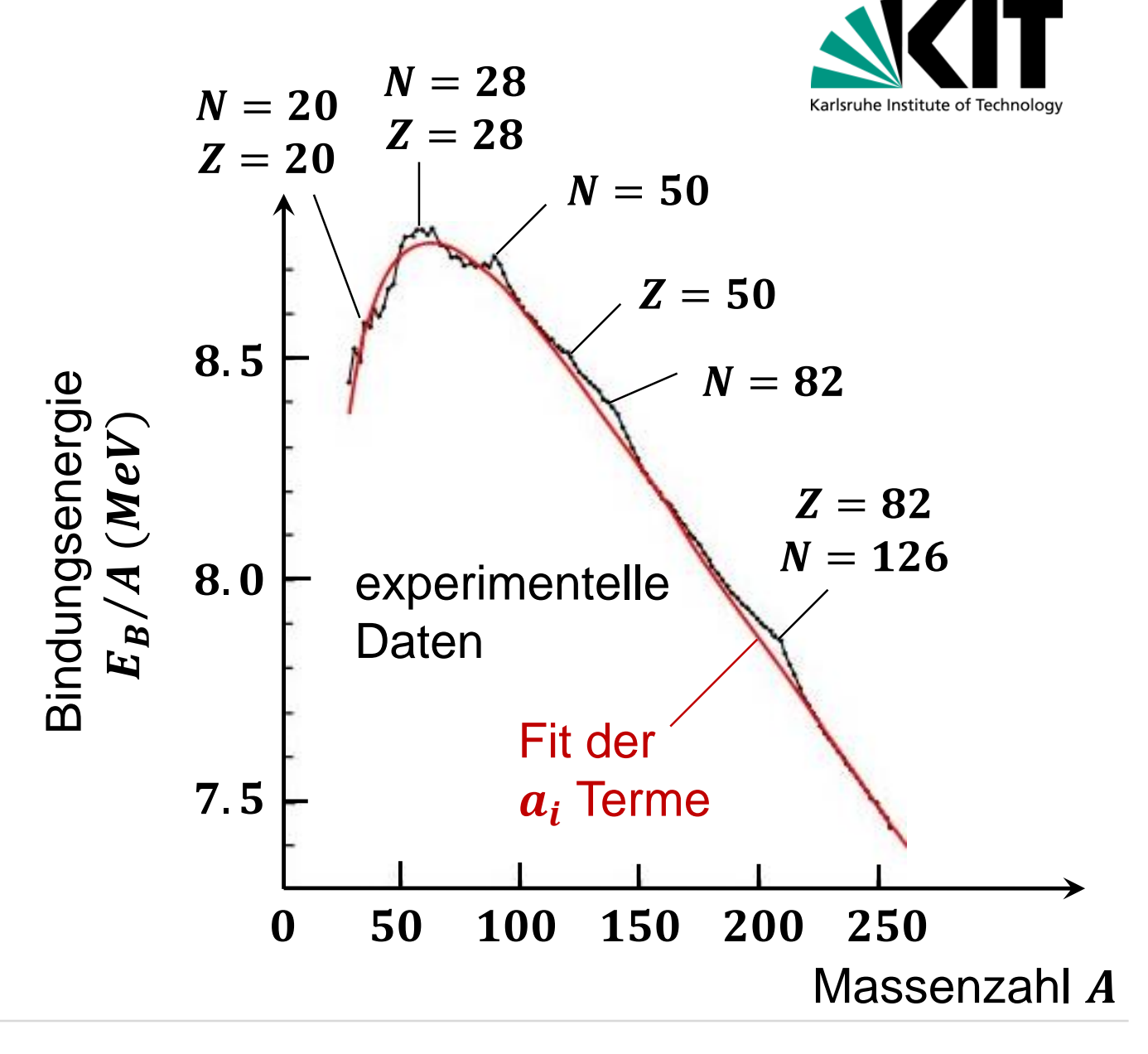
 Tröpfchenmodell beschreibt nur den generellen Verlauf

aber: magische Zahlen

 $Z ext{ oder } N = 20, 28, 50, 82, 126$



Schalenstruktur der Kerne



Schalenmodell: Nuklide mit magischen Zahlen



²⁰⁸Ph

126

■ Nuklide mit den 'magischen' Zahlen



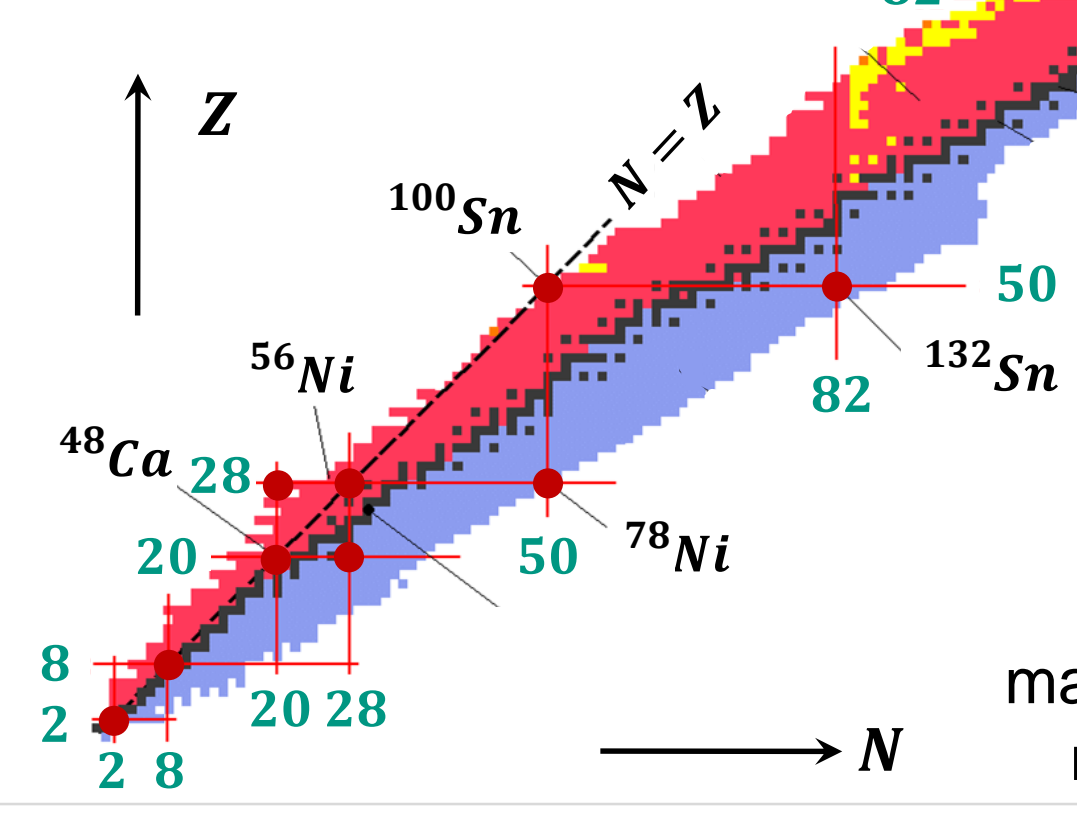
doppelt magisch:

 4 He

⁴⁸Ca

 ^{132}Sn

²⁰⁸Pb



Nuklidkarte mit magischen & doppelt magischen Kernen

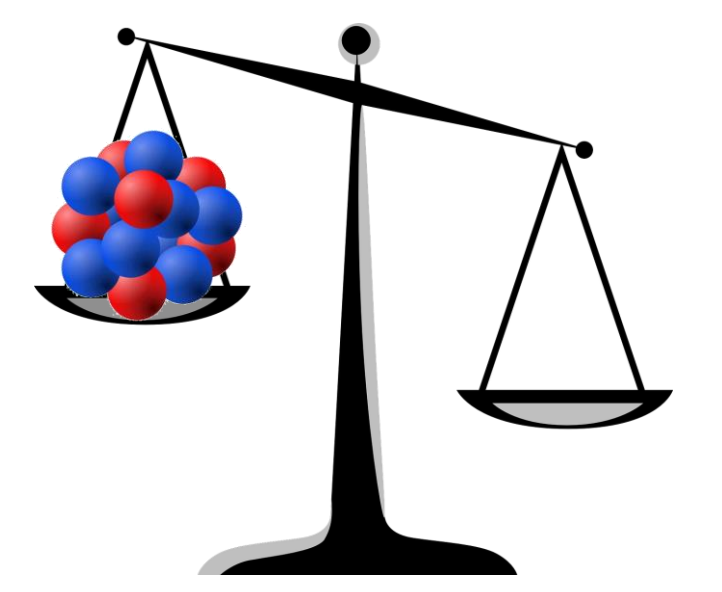
QUIZ: Nuklide mit magischen Zahlen



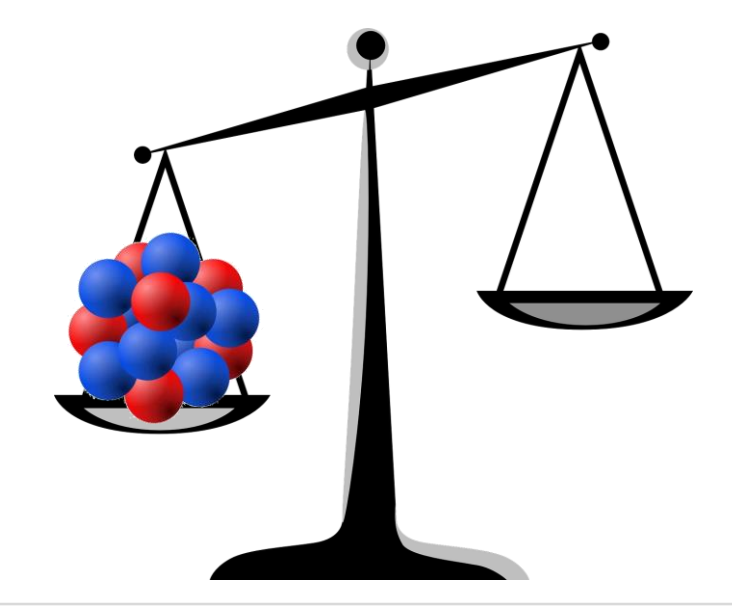
■ Nuklide mit den 'doppelt-magischen' Zahlen: *Nickel* – 78

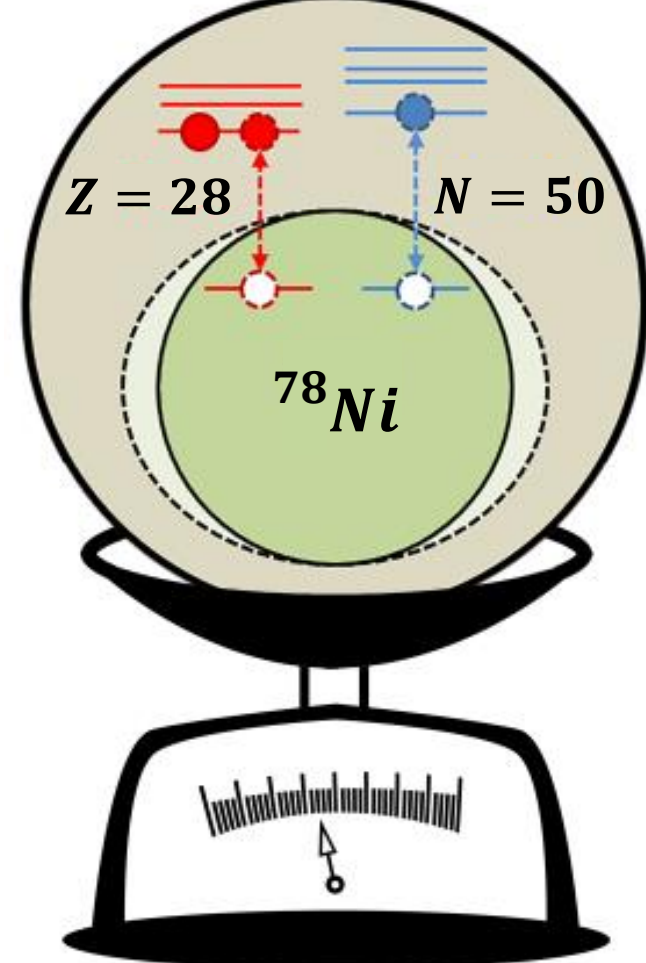
ist entsprechend des Schalenmodells besonders...

A) leicht



B) schwer





Schalenmodell: Nuklide mit magischen Zahlen



- Nuklide mit den 'magischen' Zahlen zeigen eine
 - hohe **Bindungsenergie** / Separationsenergie
 - hohe Anregungsenergie des ersten angeregten Zustands
 - große Anzahl an Isotopen (Isotonen) bei gleichem Z (N)
 - kleine Einfangquerschnitte für (thermische) Neutronen
 - große relative Häufigkeit

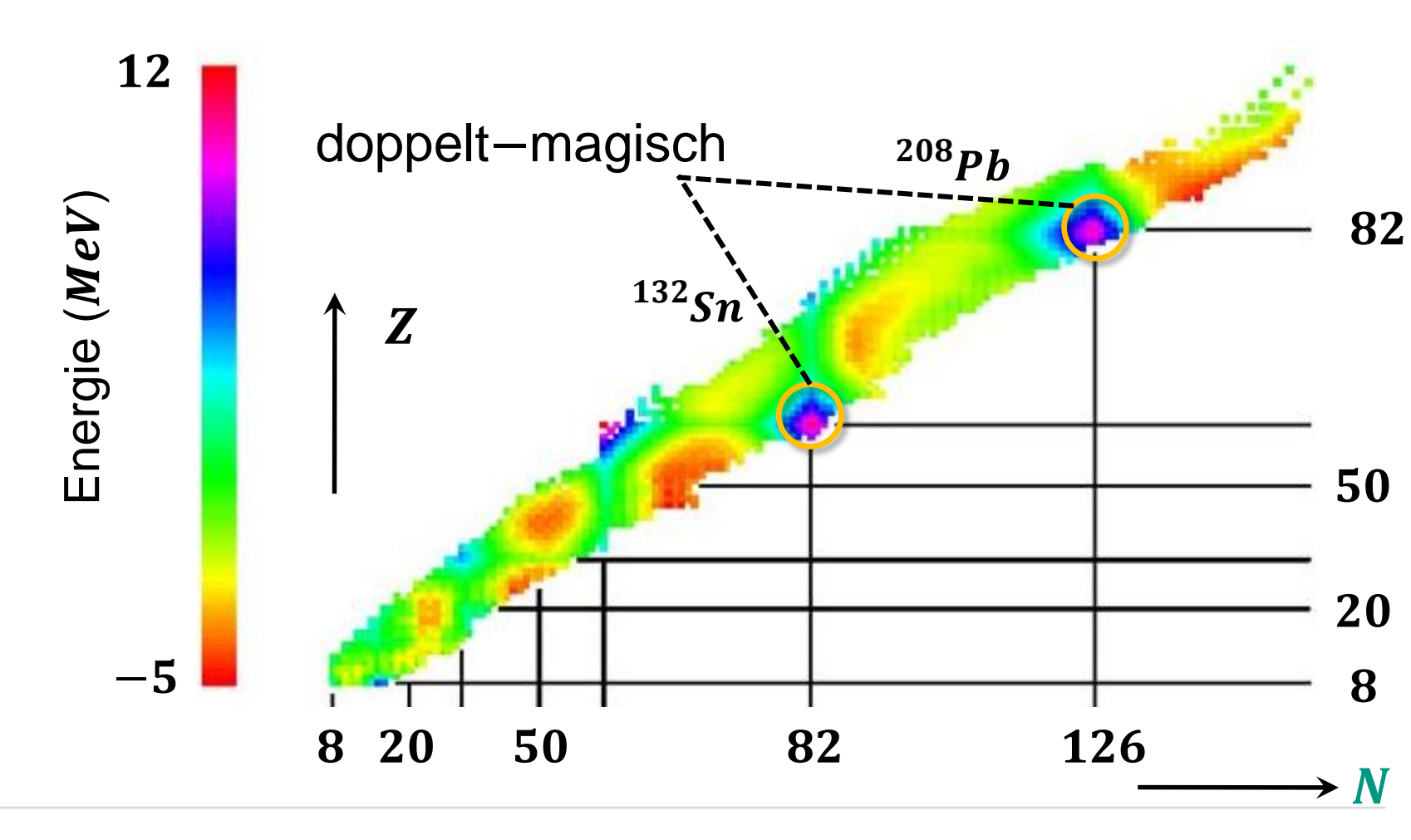
Magische Zahlen: experimentelle Befunde



Bindungsenergie: Abweichung gegenüber Tröpfchenmodell

hohe Bindung

bei magischen Zahlen



Schalen & magische Zahlen: Atome vs. Kerne

gleiche

Notationen:

 n, ℓ, j



Analogien und Unterschiede

Atomphysik

- magische Zahlen:2, 10, 18, 36, 54, 86
- erzeugendes Potenzial:

langreichweitiges Coulombfeld

$$V(r) \sim -Z \cdot e^2/r$$

Kernphysik

- magische Zahlen:2, 8, 20, 28, 50, 82, 126
- erzeugendes Potenzial:
 kurzreichweitige Kernkraft
 - $V(r) \sim ?$
 - ⇒ Kastenpotenzial ?
 - ⇒ harmonischer Oszillator ?
 - ⇒ Woods–Saxon Potenzial!

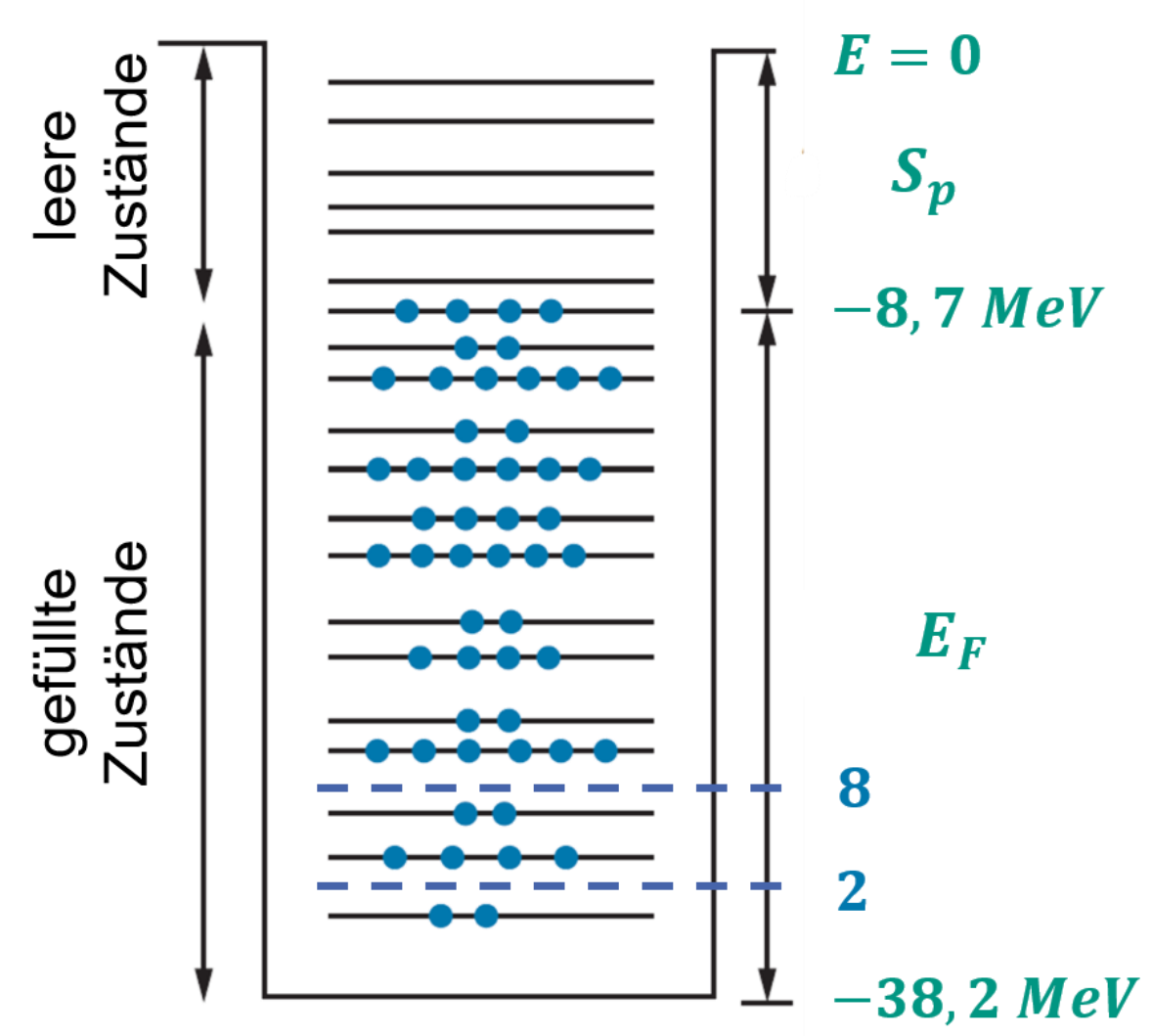
Zahlen alle korrekt

Schalenmodell: Beispiel-Kern Tellur – 125



Visualisierung unseres Ziels: ein Potenzial für alle Nukleon–Schalen

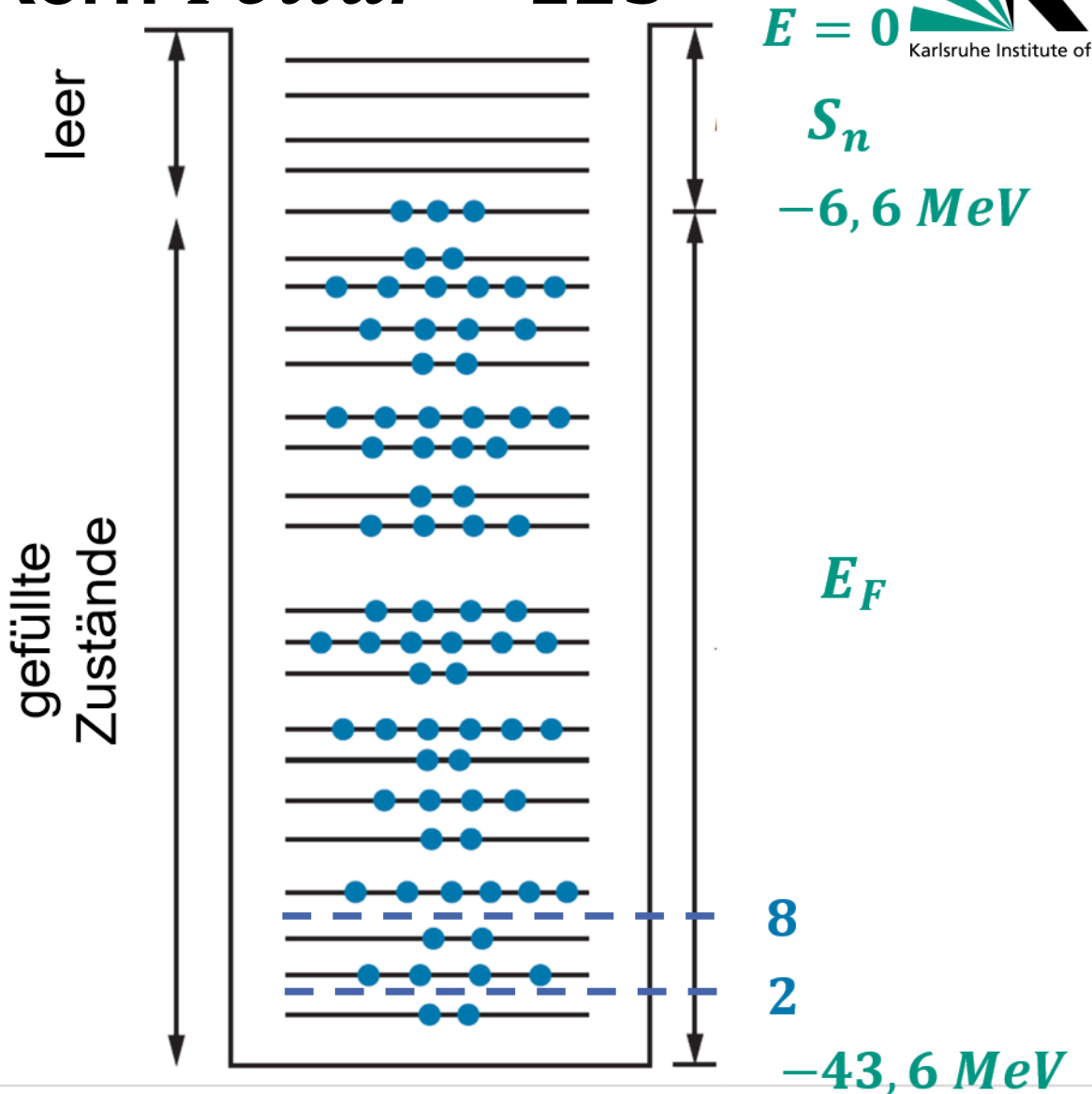
Zustände von **52** Protonen...



Schalenmodell: Beispiel-Kern Tellur – 125

Visualisierung unseres Ziels: ein Potenzial für alle Nukleon–Schalen

Zustände von 73 Neutronen...



Ansatz Kastenpotenzial

Fallstudie #1: Nukleonen im Kasten

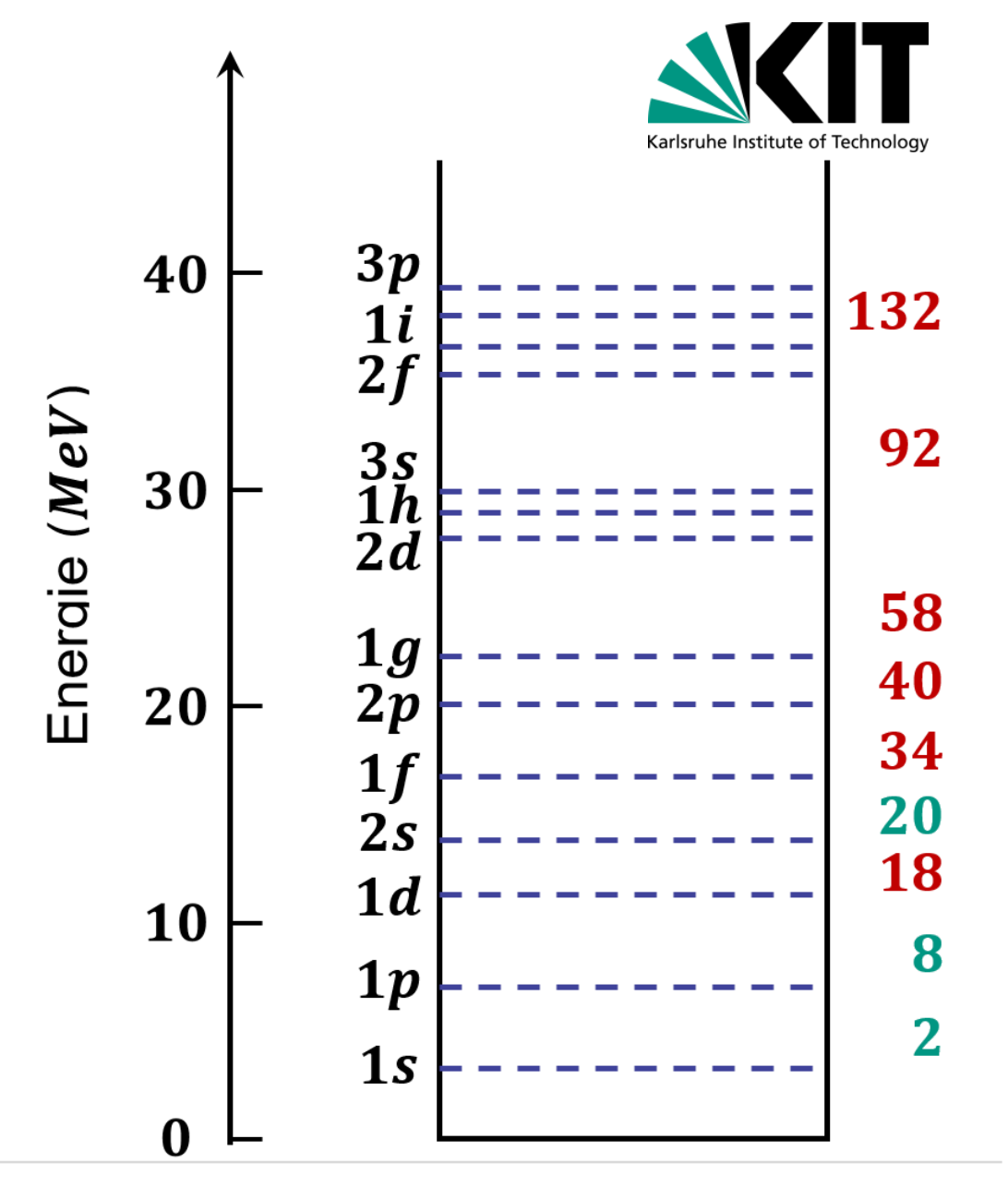
- Nukleonen in einem **Kastenpotenzial** mit Tiefe $V_0 = 40 \ MeV$ (s. Fermigas)

$$V(r) = -V_0$$
 für $r < R$
 $V(r) = 0$ für $r > R$

für
$$\ell = 0$$
 (Zentrifugalterm für $\ell \neq 0$)

 Schalenabschlüsse stimmen für schwere Kerne nicht mehr mit magischen Zahlen überein

$$= 2, 8, 20, 28, 50, 82, 126$$



Ansatz harmonischer Oszillator



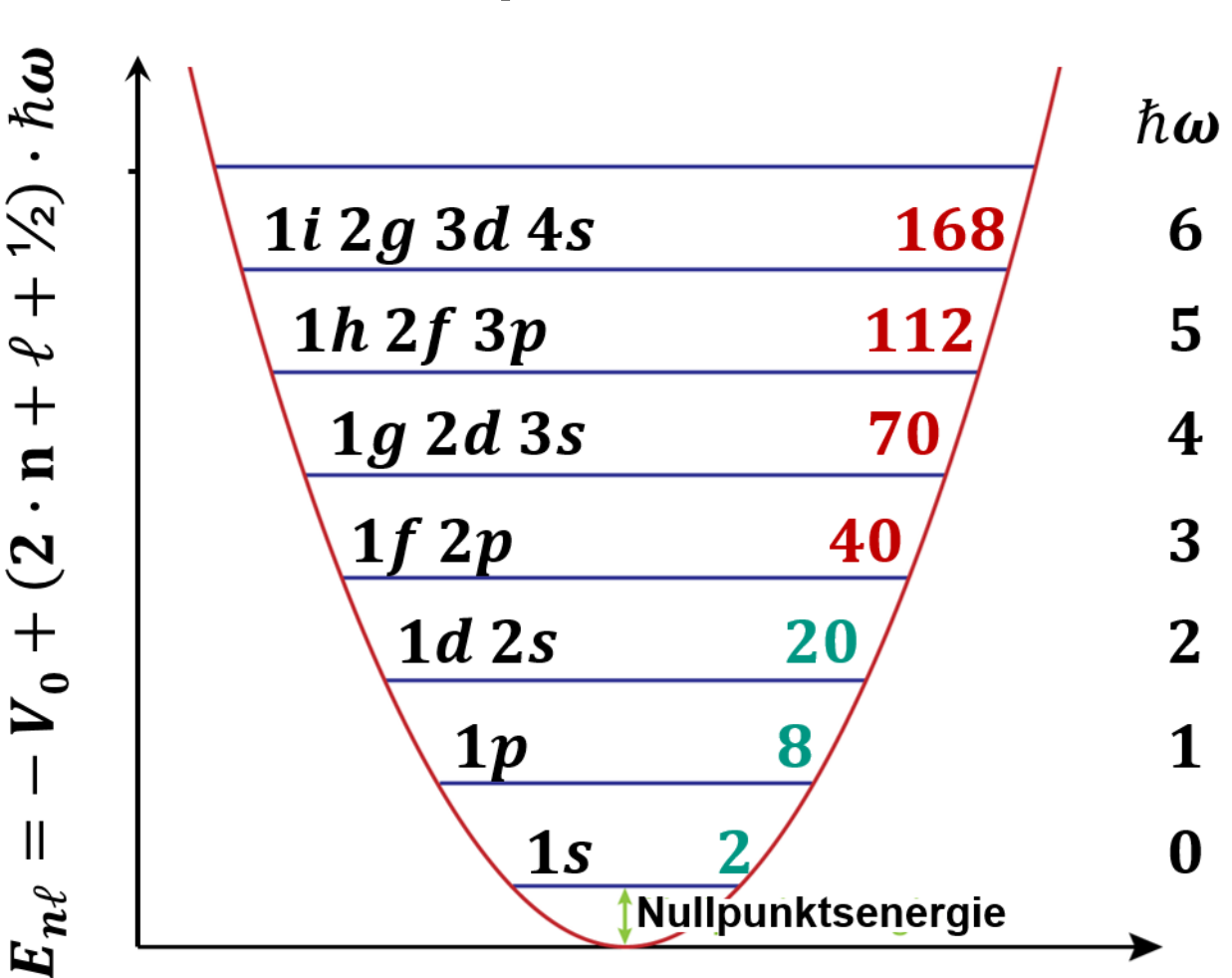
■ Fallstudie #2: Nukleonen im harmonischen Oszillatorpotenzial

- Nukleonen im **Oszillatorpotenzial** mit Tiefe $V_0 = 40 \, MeV$ (s. Fermigas)

$$V(r) = -V_0 + \frac{1}{2} \cdot M_N \cdot \omega^2 \cdot r^2$$

mit
$$\hbar \omega$$
 – Schale: $2 \cdot (n-1) + \ell$

 Schalenabschlüsse stimmen für schwere Kerne nicht mehr mit magischen Zahlen überein



Ansatz harmonischer Oszillator

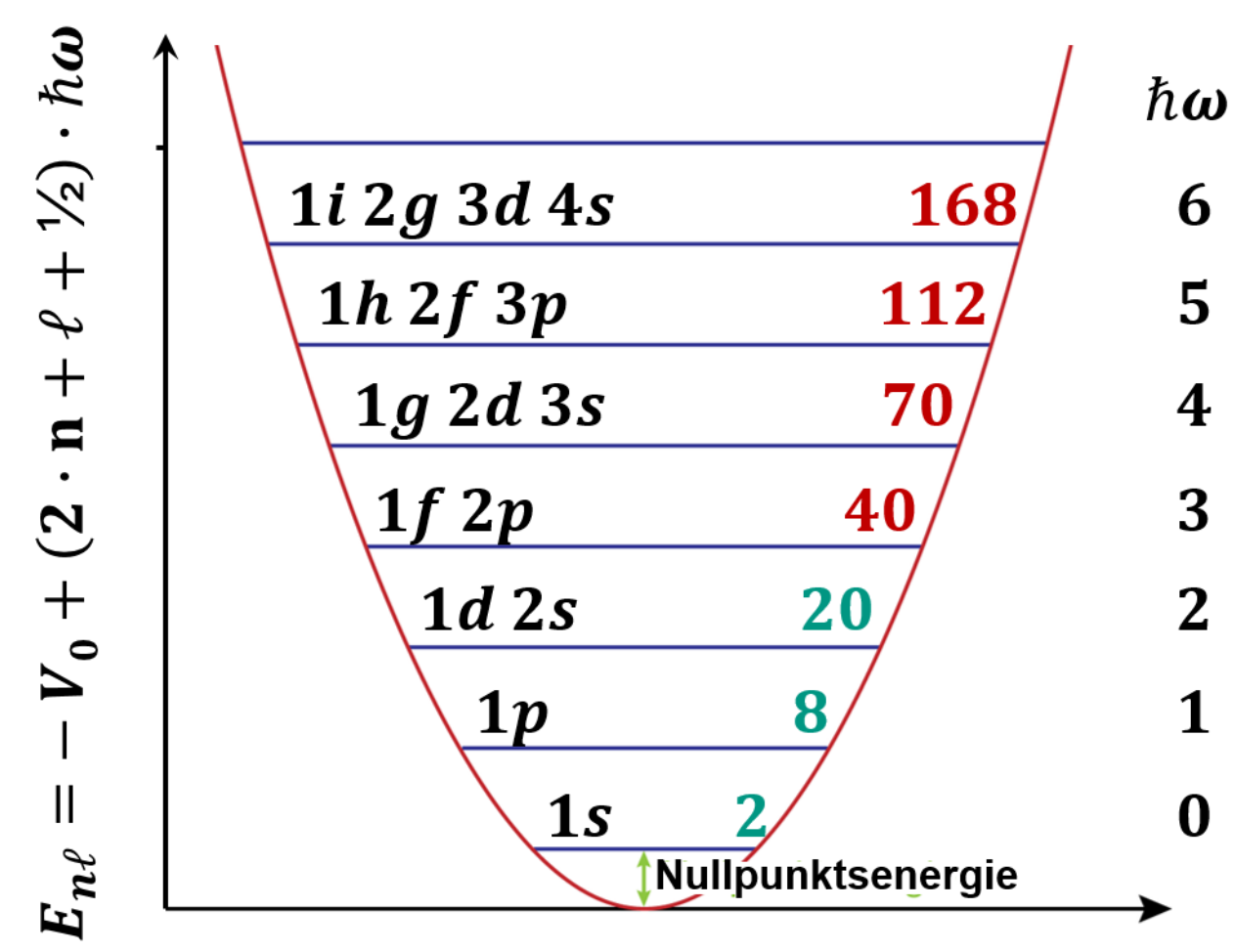


■ Fallstudie #2: Nukleonen im harmonischen Oszillatorpotenzial

- Summe Zustände im **Oszillator- potenzial** bis zu einzelnen Schalen

$$\sum 2\cdot (2\ell+1)$$

ħω	n	ℓ	Zustand	$\Sigma 2 \cdot (2\ell + 1)$
3	2 1	1 3	2 <i>p</i> 1 <i>f</i>	40
2	2 1	0 2	2 <i>s</i> 1 <i>d</i>	20
1	1	1	1 <i>p</i>	8
0	1	0	1 s	2



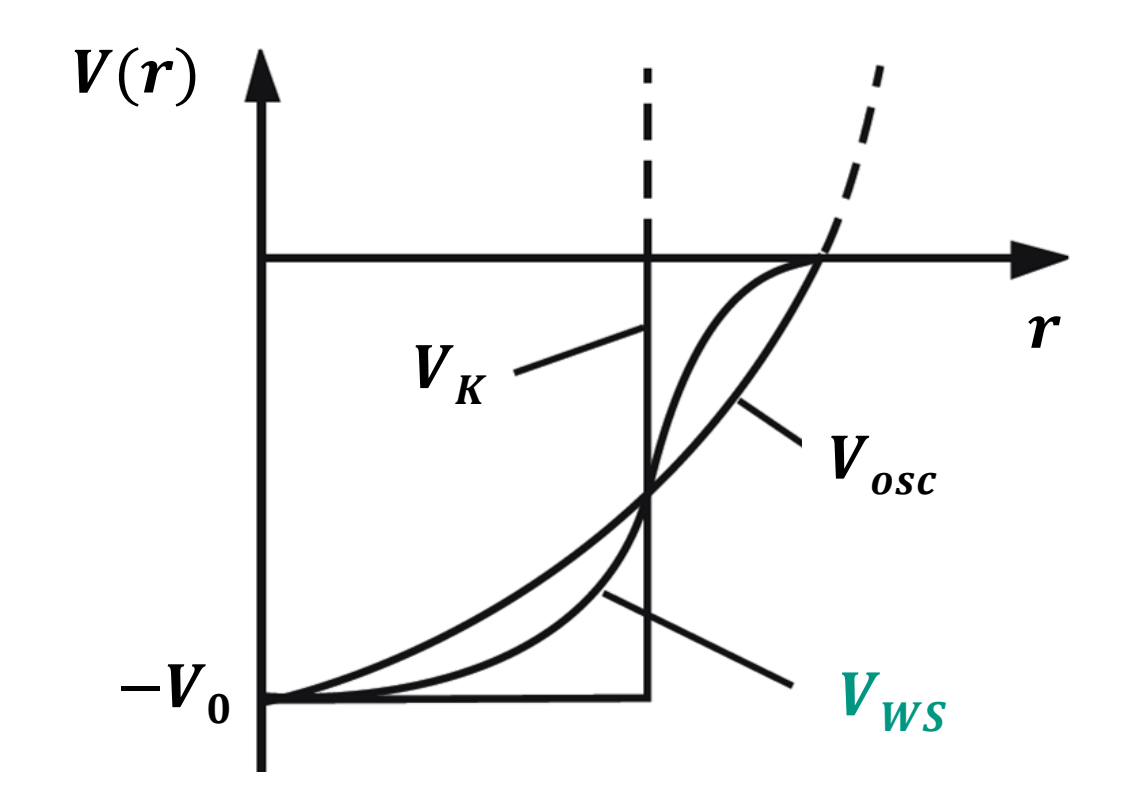
Ansatz Woods-Saxon Potenzial



- Fallstudie #3: Nukleonen in Potenzial, welches die beobachtete Ladungsverteilung $\rho(r)$ von Kernen nachbildet
- Woods-Saxon Potenzial V_{WS} liegt zwischen einem harmonischen Oszillator V_{osc} und dem Kasten-Potenzial V_{K}

$$V_{WS}(r) = \frac{V_0}{1 + e^{(r-a)/d}}$$

a: Kernradius d: Skindicke



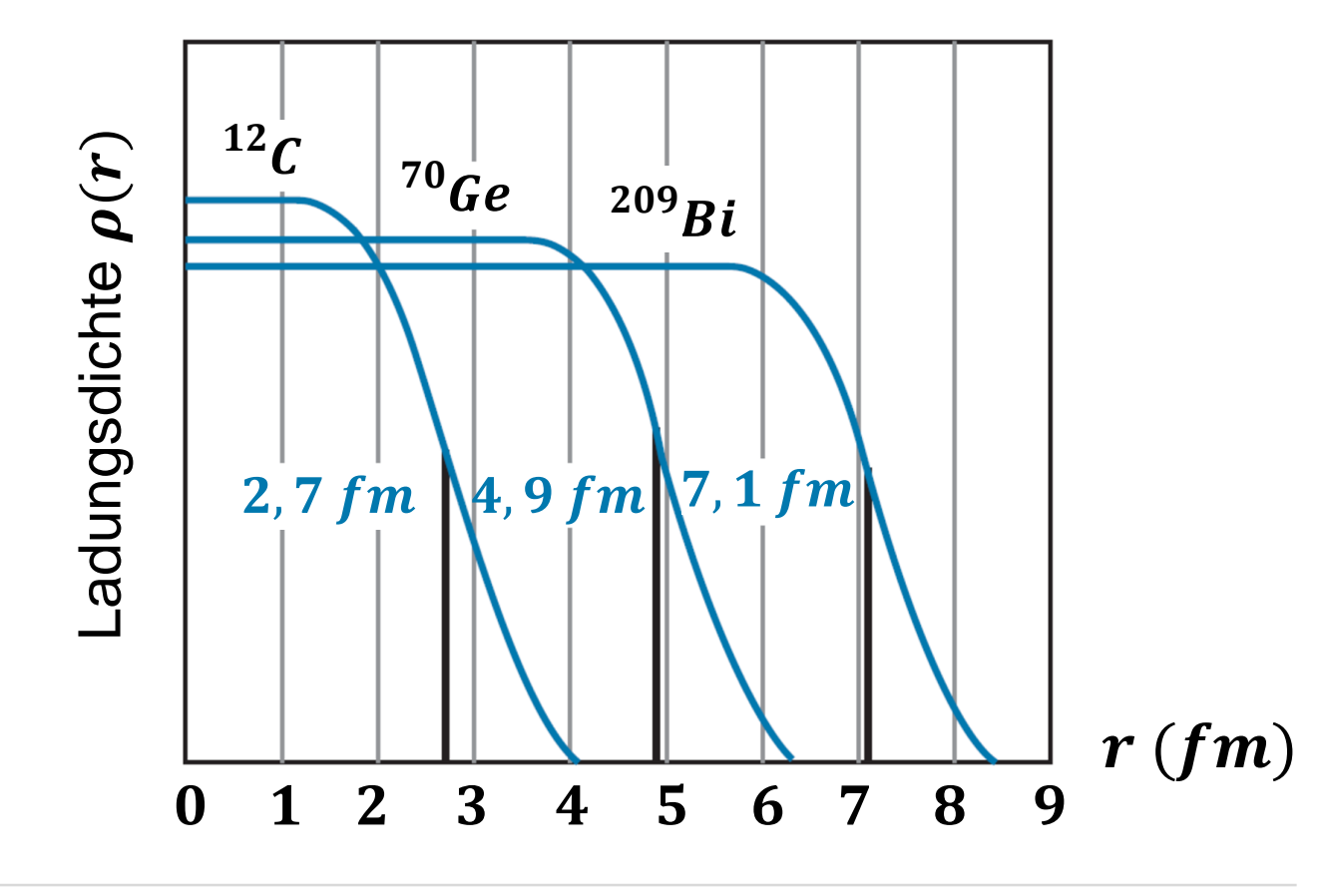
Ansatz Woods-Saxon Potenzial



- Fallstudie #3: Nukleonen in Potenzial, welches die beobachtete Ladungsverteilung $\rho(r)$ von Kernen nachbildet
- Woods-Saxon Potenzial V_{WS} liegt zwischen einem harmonischen Oszillator V_{osc} und dem Kasten-Potenzial V_K

$$V_{WS}(r) = \frac{V_0}{1 + e^{(r-a)/d}}$$

a: Kernradius d: Skindicke

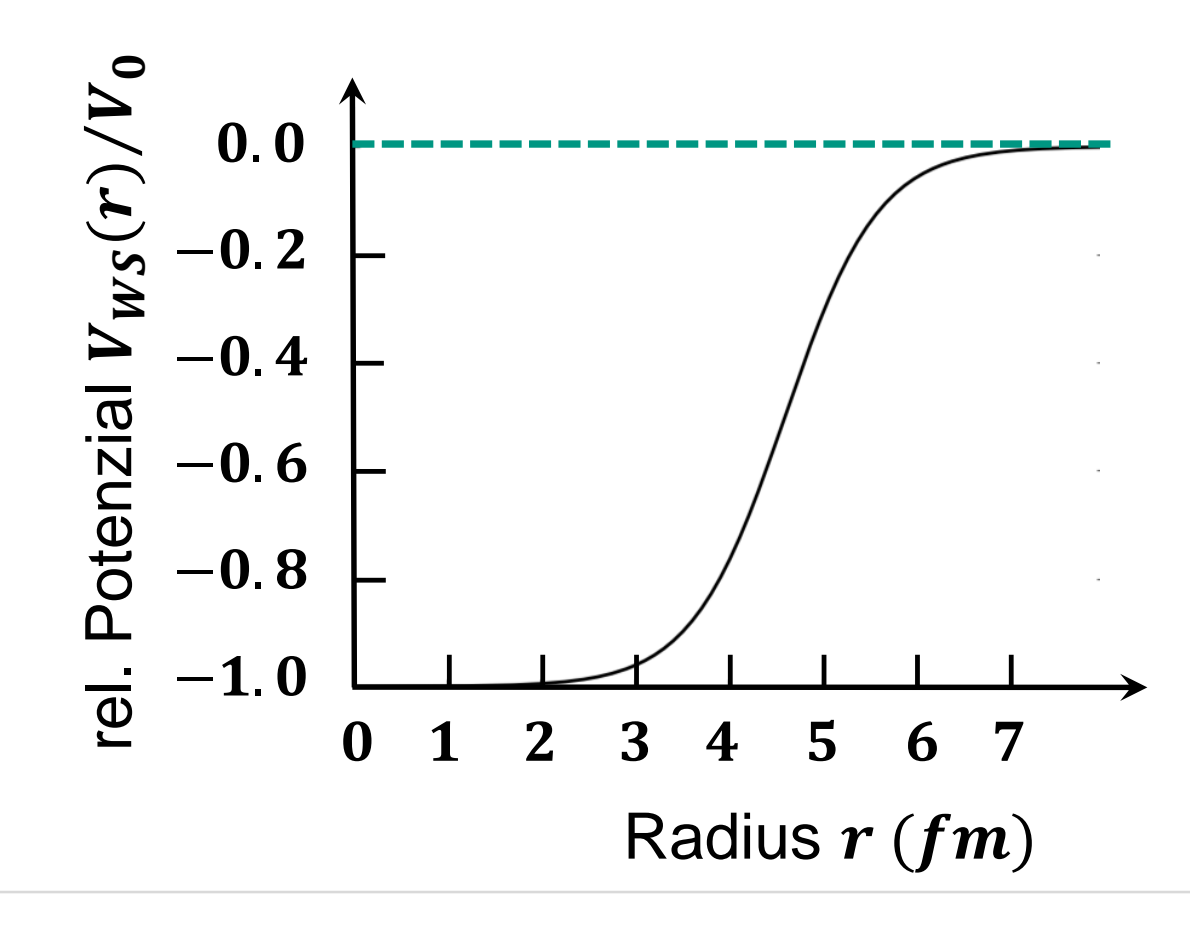


Ansatz Woods-Saxon Potenzial



■ Fallstudie #3: Nukleonen in Potenzial, welches die beobachtete Ladungsverteilung $\rho(r)$ von Kernen nachbildet

- Woods-Saxon Potenzial V_{WS} liegt zwischen einem harmonischen Oszillator V_{osc} und dem Kasten-Potenzial V_K
- magische Zahlen 2, 8, 20 werden korrekt vorhergesagt
- magische Zahlen ab 28 werden nicht korrekt abgebildet



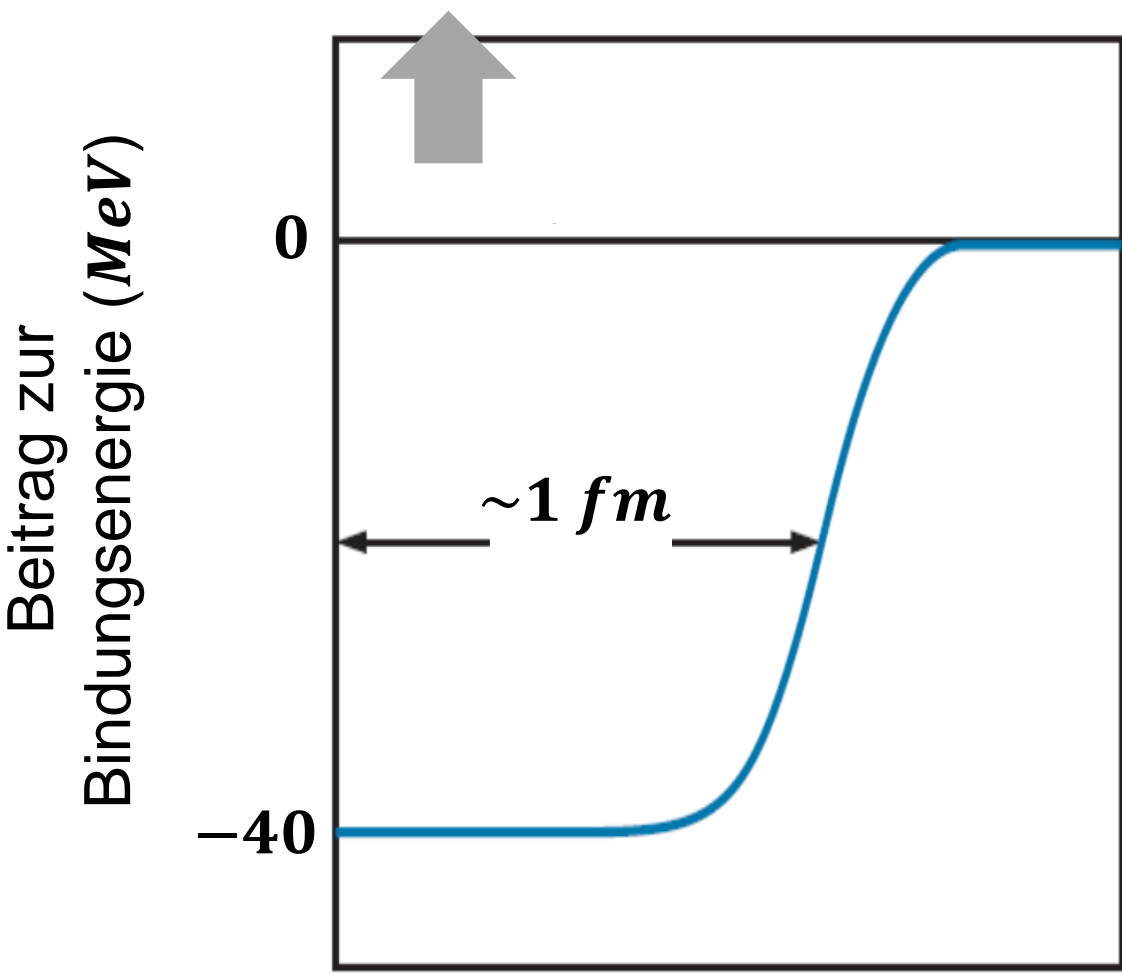
Ansatz Woods—Saxon Potenzial & Pionen



Kurzreichweitiges Potenzial der anziehenden Kernkräfte

- anziehende Kernkräfte mit mittlerem Potenzial (Verlauf nicht identisch mit dem N - N Potenzial)
- mikroskopisches Bild: anziehende Kraft vermittelt durch Austausch massebehafteter Pionen

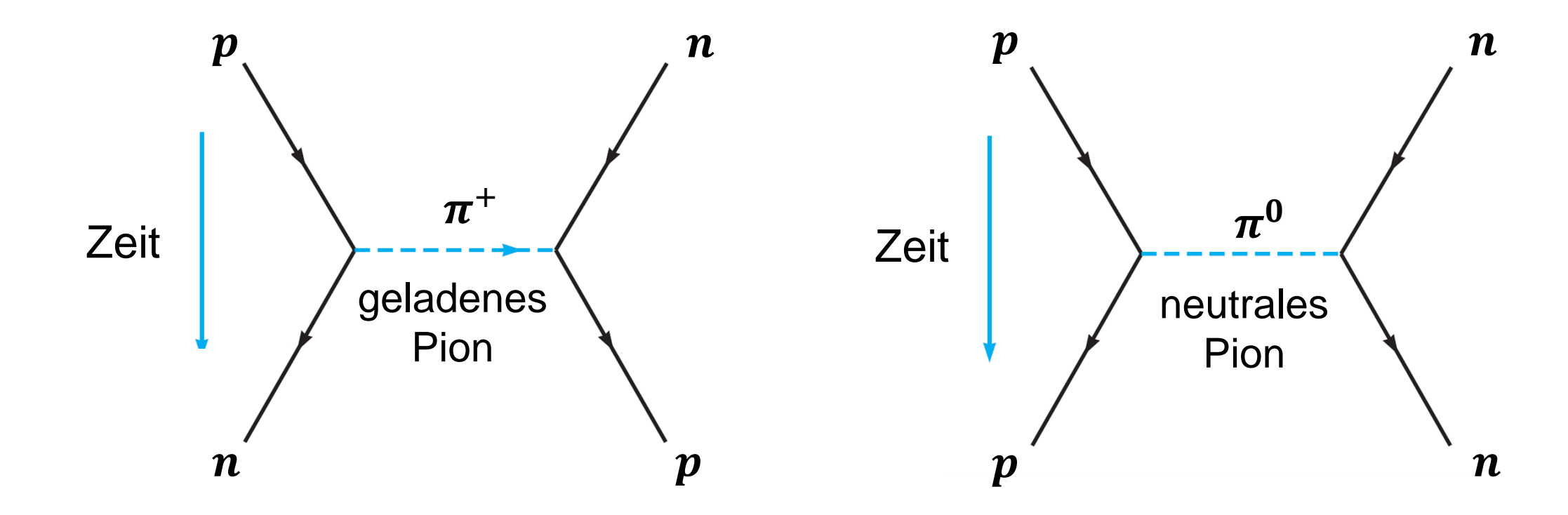
3 Pionenzustände: $(\pi^+ \pi^0 \pi^-)$



Pionen und die starke Kernkraft



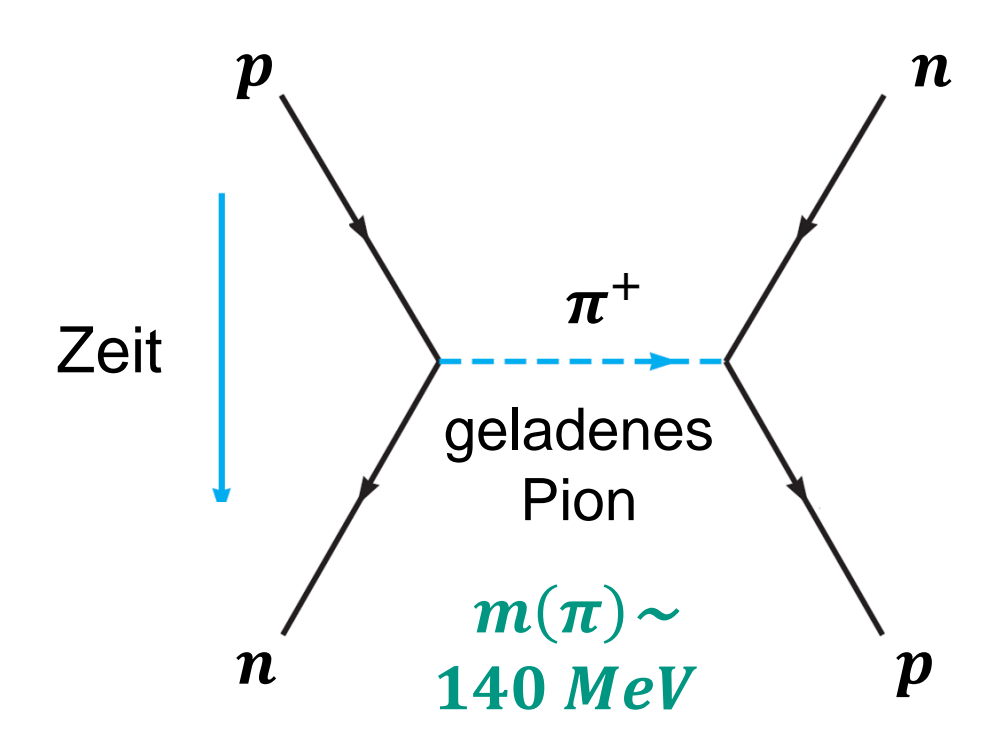
- Pionen vermitteln eine kurzreichweitige, anziehende Kernkraft
- Feynman-Diagramme zum **Pionaustausch**: Reichweite ~ 1 fm



Pionen und die starke Kernkraft



- Pionen $(\pi^+ \pi^0 \pi^-)$ sind kurzlebige Quark–Antiquark–Systeme
- Hideki Yukawa sagt die Existenz von Pionen als Träger der starken Kraft voraus (1935), er erhält 1938 sein PhD auf Basis seiner theoret. Arbeiten zu Pionen



Nobelpreis **1949**



"for his prediction of the existence of mesons on the basis of theoretical work on nuclear forces"

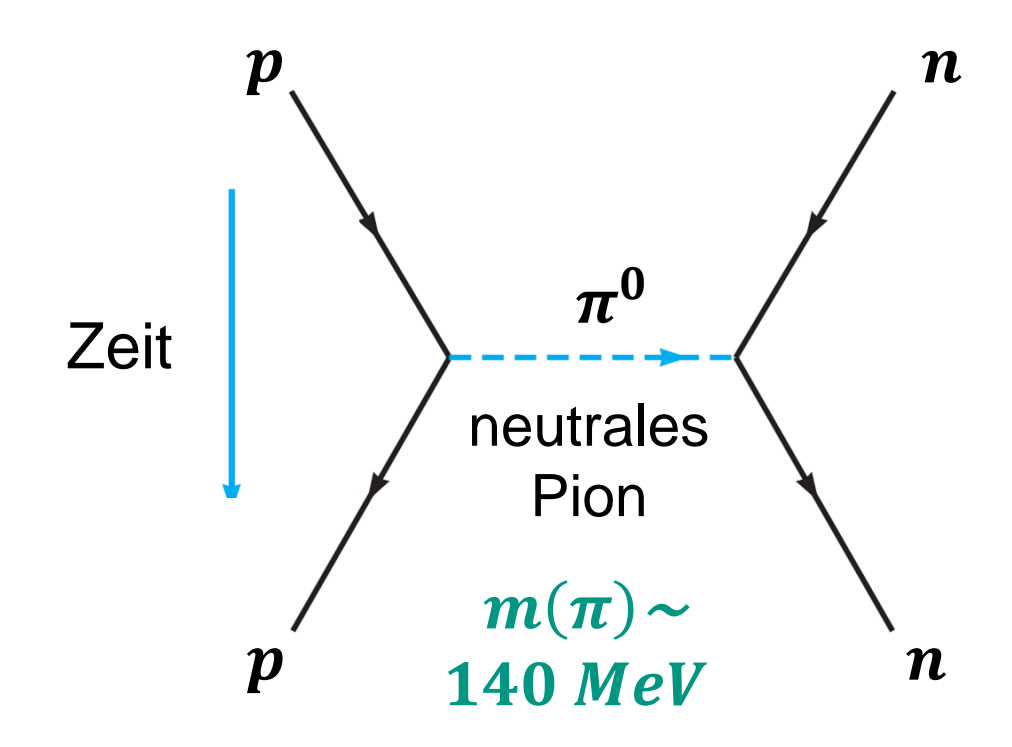


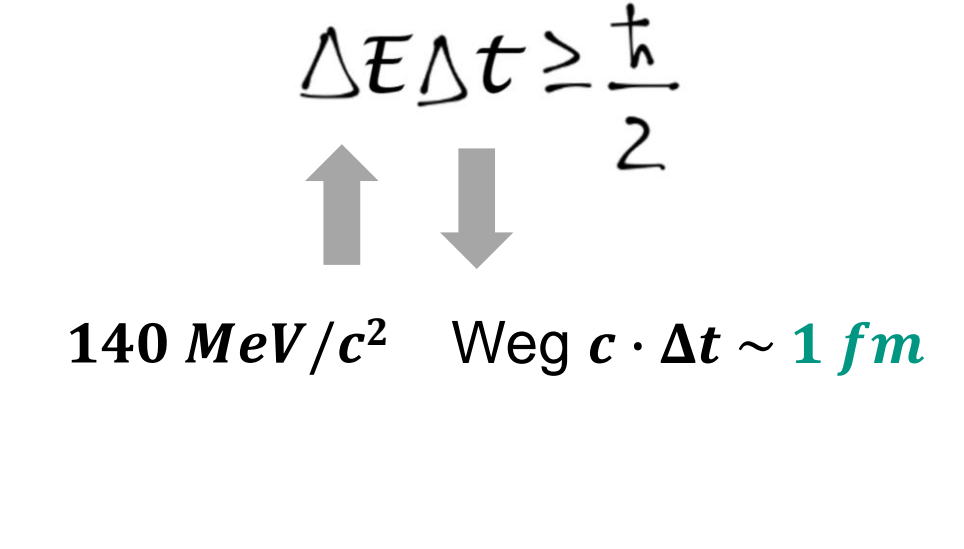
湯川 秀樹

Pionen und die starke Kernkraft



- Pionen $(\pi^+ \pi^0 \pi^-)$ sind kurzlebige Quark—Antiquark—Systeme
- Pionen sind virtuelle Austauschteilchen und unterliegen der Heisenberg'schen Unschärferelation





QUIZ: Pionen als Austauschteilchen

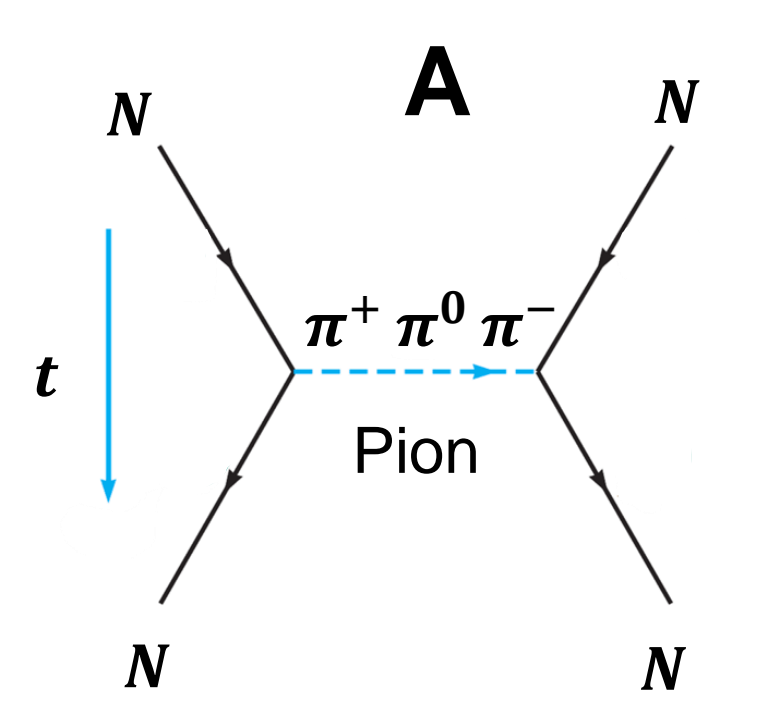


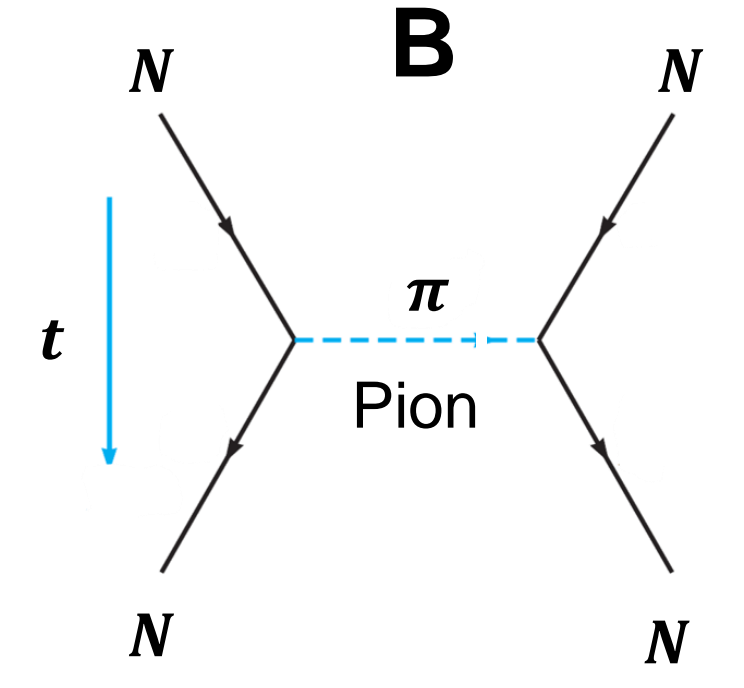
■ Ist feststellbar, welcher Ladungszustand $(\pi^+\pi^0\pi^-)$ ausgetauscht wurde ?

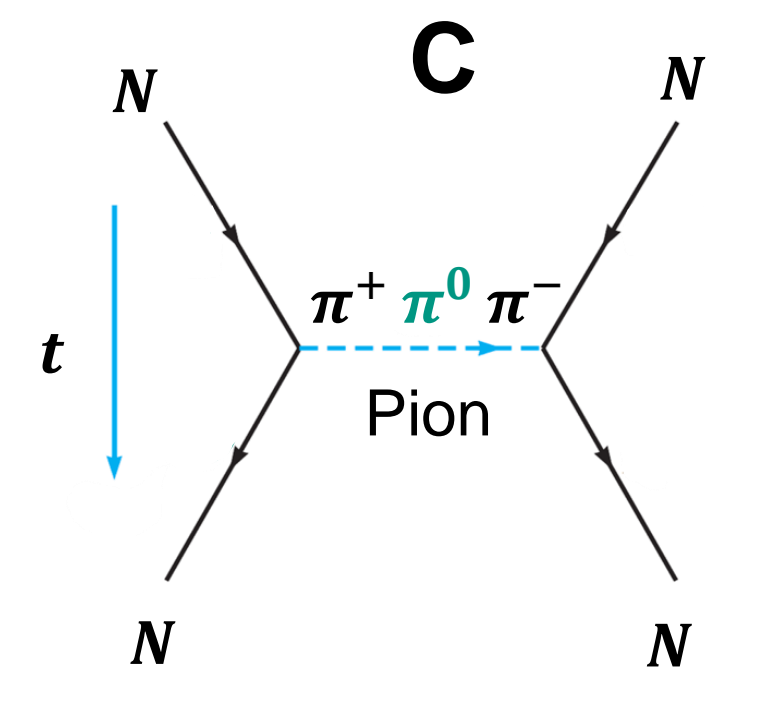
A) Ja, über die Ladung des Nukleons N

B) Nein, das Pion ist virtuell

C) Ja, über die Masse des Pions (140/135 MeV)







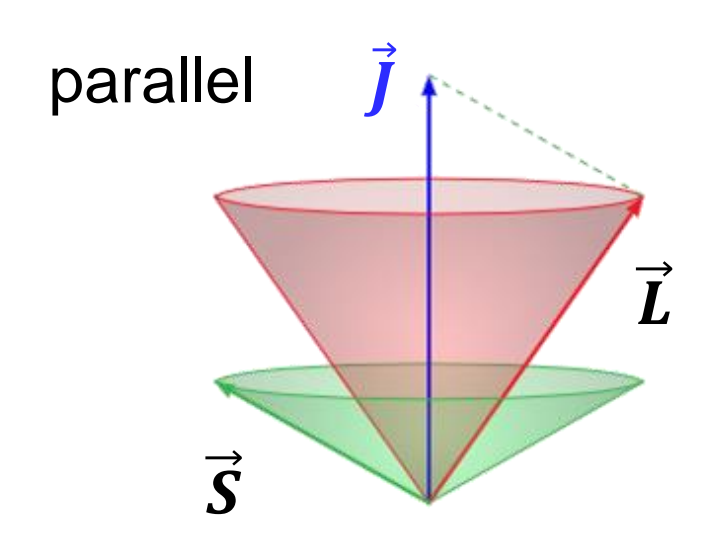
Schalenmodell: erweitertes Potenzial

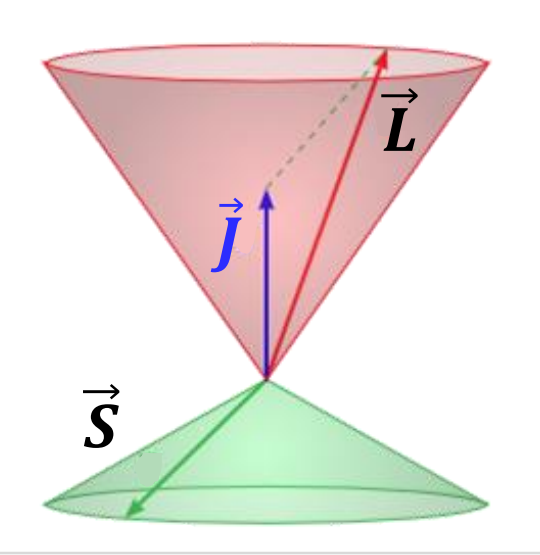


■ Lösungsansatz: nicht nur radial abhängiges Potenzial, vgl. mit Beobachtungen in der Atomphysik (*LS* – Kopplung)

- RECAP:

Atomphysik: Spin-Bahn-Kopplung erzeugt Feinstruktur-Aufspaltung mit neuer Quantenzahl Gesamtdrehimpuls J (s. Kap. 6.5)





anti– parallel

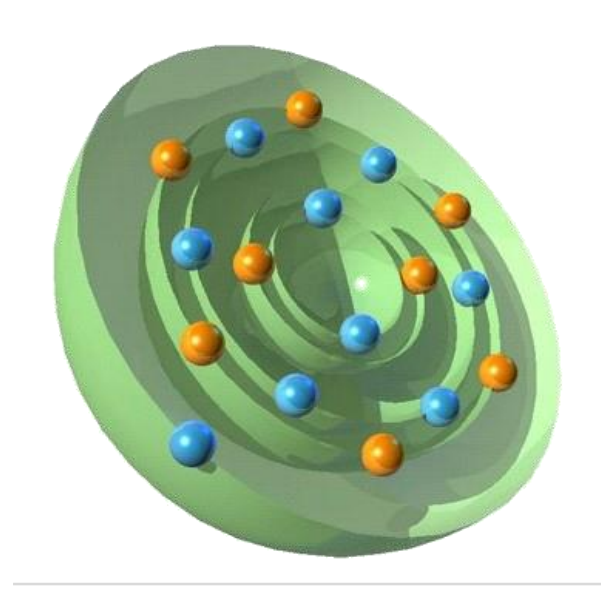


Maria Goeppert-Mayer

Schalenmodell: erweitertes Potenzial



- Lösungsansatz: nicht nur radial abhängiges Potenzial, vgl. mit Beobachtungen in der Atomphysik (*LS* Kopplung)
 - Kernphysik: Spin-Bahn-Kopplung erzeugt deutliche Aufspaltung mit korrekt vorhergesagten magischen Zahlen 2, 8, 20, 28, 50, 82, 126



Nobelpreis **1963**



'for her discoveries concerning the nuclear shell structure'

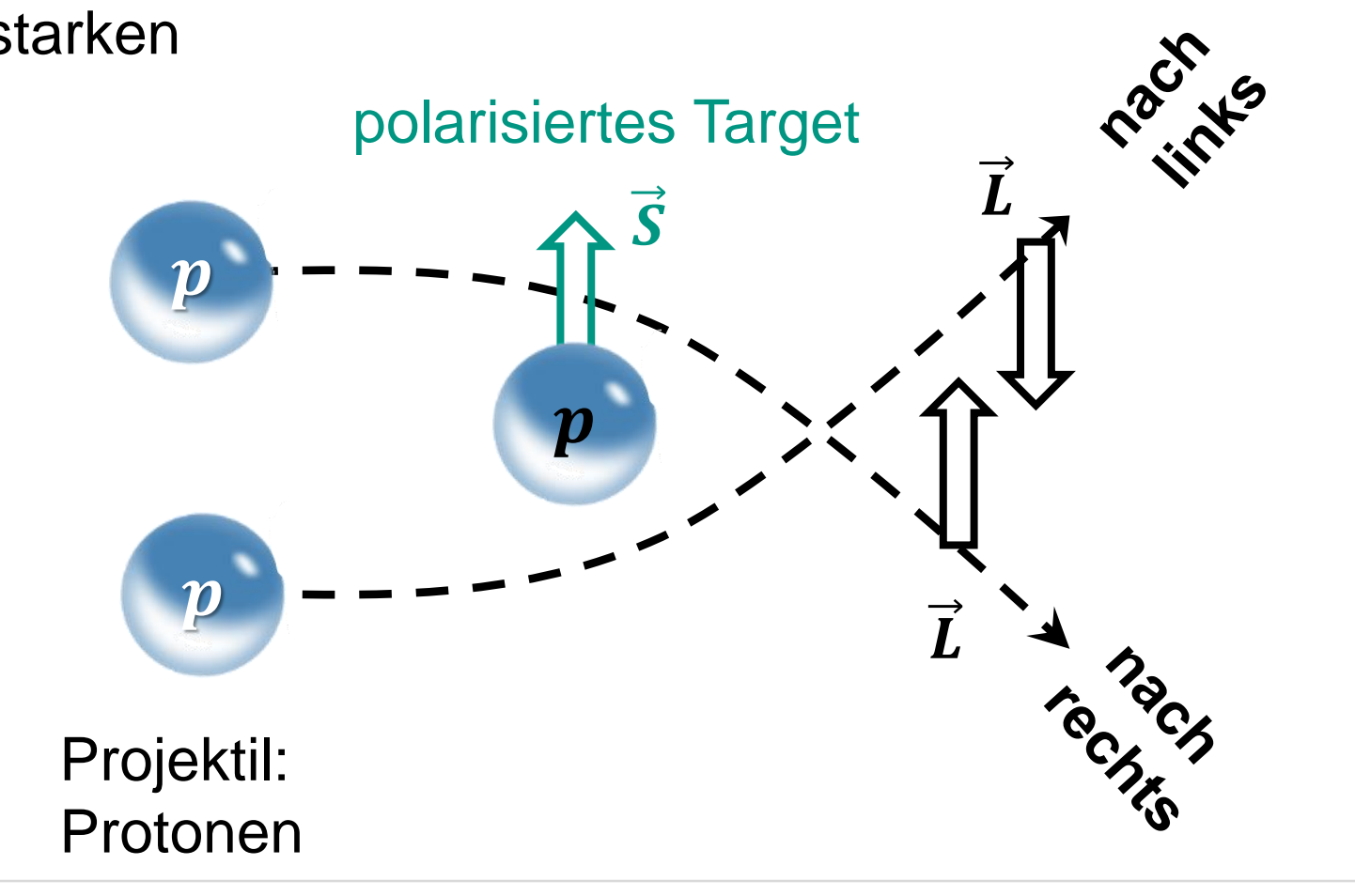


Maria Goeppert-Mayer

Schalenmodell: LS – Kopplung



- Experimentelle Überprüfung der LS Kopplung bei Kernen
- Spin-Bahn-Kopplung bei der starken Kernkraft tritt auf bei Streuung von Protonen an polarisierten Protonen-Targets (polarisierter atomarer Wasserstoff)
- man beobachtet eine links-rechts Asymmetrie in den Streuraten durch LS – Kopplung

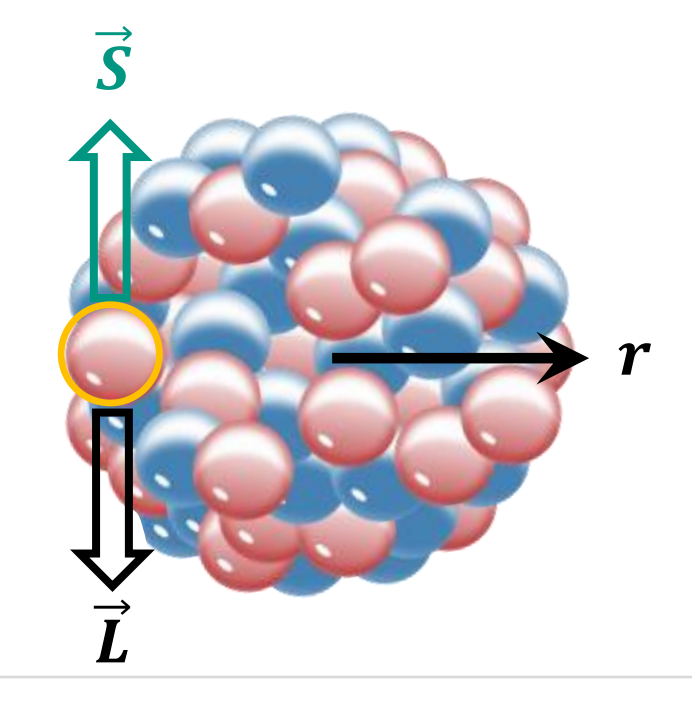


Schalenmodell: LS - Kopplung



- Lösungsansatz: radial abhängiges Woods-Saxon Potenzial mit einem Zusatzterm zur Beschreibung der LS – Kopplung bei Kernen
 - Kernphysik: Spin-Bahn-Kopplung bei der starken Kernkraft führt zu wesentlich größeren Niveau-Aufspaltungen

Spin \vec{S} und Bahn-Drehimpuls \vec{L} eines Nukleons koppeln



neuer Zusatzterm:

$$+V_{LS}(r)\cdot\left(\overrightarrow{L}\cdot\overrightarrow{S}\right)$$



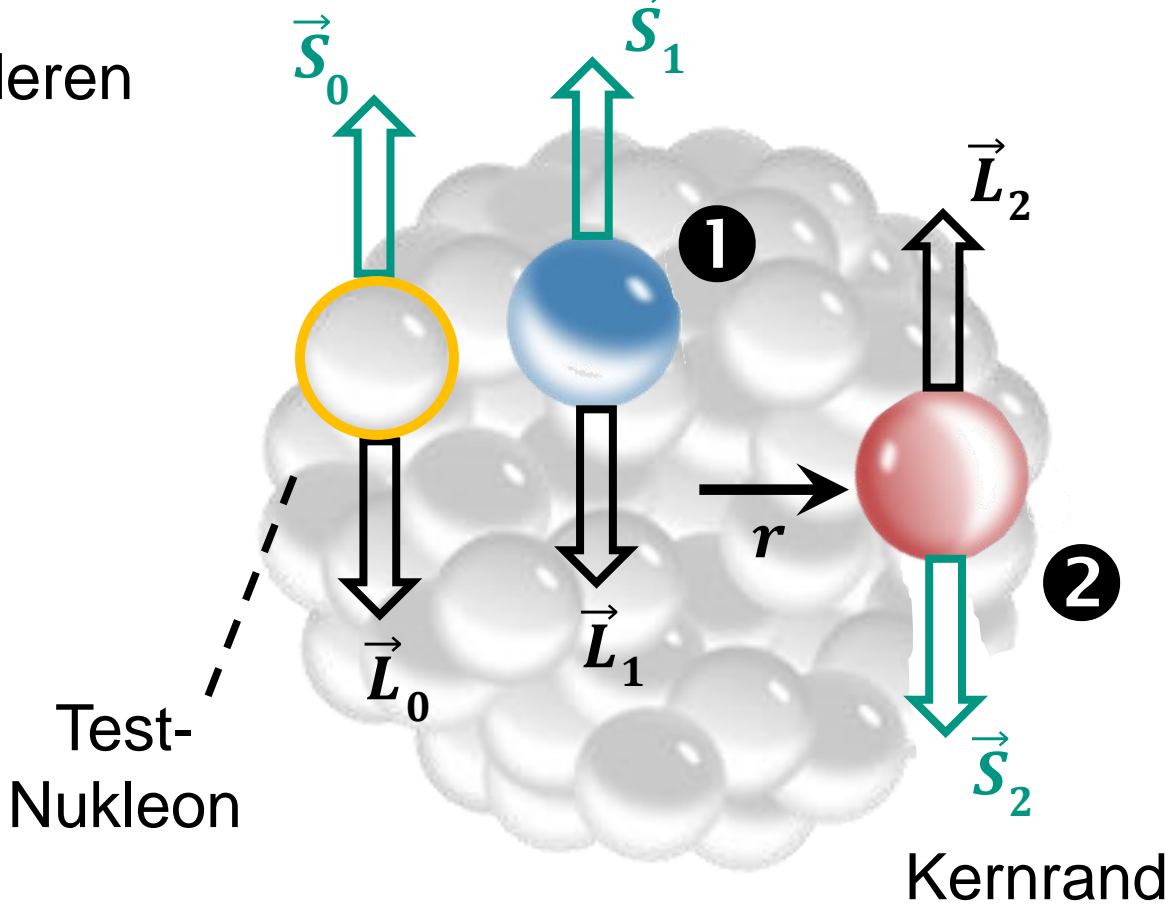
Maria Goeppert-Mayer

Schalenmodell: LS - Kopplung



■ Betrachtung der *LS* − Kopplung von Nukleonen im Kern

- Testnukleon $(\vec{L}_0 \ \vec{S}_0)$ wechselwirkt mit anderen Nukleonen im Kern via LS Kopplung:
 - Nukleon im Kerninnern
 - Nukleon am Kernrand
- Wechselwirkung ist abhängig von $\vec{L} = \vec{L}_0 + \vec{L}_i$, $\vec{S} = \vec{S}_0 + \vec{S}_i$:



Schalenmodell: LS - Kopplung



- Betrachtung der *LS* − Kopplung von Nukleonen im Kern
- Wechselwirkungen 'mitteln' sich
 - \Rightarrow Reduktion auf Einteilchen-Zustand mit Quantenzahl Bahndrehimpuls \vec{L}_i , Spin \vec{S}_i
- wir erhalten ein radialabhängiges
 LS Potenzial mit der Form
 (wichtig: im Innern mittelt sich alles)

$$V_{LS}(r) \sim \frac{1}{r} \cdot \frac{d\rho}{dr}$$

